



INCENDIOS FORESTALES



CENEPRED

Centro Nacional de Estimación, Prevención y
Reducción del Riesgo de Desastres

ESCENARIO DE RIESGO POR INCENDIOS FORESTALES DE LA REGIÓN HUÁNUCO

Julio 2022



ESCENARIO DE RIESGO POR INCENDIOS FORESTALES DE LA REGIÓN HUÁNUCO.

Elaborado por el Centro Nacional de Estimación, Prevención y Reducción del Riesgo de Desastres (CENEPRED).
Dirección de Gestión de Procesos (DGP). Subdirección de Gestión de la Información (SGI). CENEPRED, 2022.
Av. Del Parque Norte N° 313 - 319. San Isidro - Lima – Perú
Teléfono: 201-3550, correo electrónico: info@cenepred.gob.pe
Página web: <https://www.gob.pe/cenepred>

Equipo Técnico del CENEPRED:

Contralmirante (r) Raúl Luis Esteban Vásquez Alvarado
Jefe del CENEPRED

Lic. Félix Eduardo Romaní Seminario
Director de la Dirección de Gestión de Procesos

Ing. Alfredo Zambrano Gonzáles
Subdirector de Gestión de la Información

Ing. José Luis Epiquién Rivera
Bach. Ing. Chrisna Karina Obregón Acevedo
Especialistas de la Subdirección de Gestión de la Información

Econ. Carlos Enrique Guillena Díaz
Coordinador de Enlace Regional CENEPRED: San Martín, Huánuco, Amazonas

Rodolfo Daniel Gil Anticona
Ingeniero Geógrafo
Consultor

Equipo Técnico del Gobierno Regional de Huánuco:

Ing. Rusdael Rutherford Garcia Urbina
Director Regional Oficina Regional de Gestión de Riesgos de Desastres, Defensa Nacional y Seguridad Ciudadana

Ing. Ed Luis Flores Salas
Evaluador de riesgos

Ing. Alex Armando Gómez Bravo
Administrador Técnico



TABLA DE CONTENIDOS

| | | |
|-------|---|----|
| 1 | INTRODUCCIÓN | 5 |
| 2 | OBJETIVOS..... | 6 |
| 2.1 | OBJETIVO GENERAL..... | 6 |
| 2.2 | OBJETIVOS ESPECÍFICOS | 6 |
| 3 | ASPECTOS GENERALES..... | 6 |
| 3.1 | UBICACIÓN GEOGRÁFICA | 6 |
| 3.2 | ASPECTOS BIOFÍSICOS..... | 7 |
| 3.3 | ASPECTOS SOCIOECONÓMICOS | 7 |
| 4 | DESCRIPCIÓN DEL FENÓMENO..... | 8 |
| 5 | ETAPAS DEL ANÁLISIS METODOLÓGICO..... | 9 |
| 6 | RECOPIACIÓN DE LA INFORMACIÓN | 10 |
| 7 | ELABORACIÓN DEL ESCENARIO DE RIESGO | 11 |
| 7.1 | ANÁLISIS DE SUSCEPTIBILIDAD..... | 11 |
| 7.1.1 | Factores condicionantes territoriales..... | 12 |
| A) | Combustible (cobertura vegetal)..... | 12 |
| B) | Pendiente..... | 14 |
| 7.1.2 | Factores condicionantes climáticos | 16 |
| A) | Clima | 16 |
| B) | Vientos..... | 18 |
| C) | Irradiación solar..... | 19 |
| 7.1.3 | Modelamiento de los factores condicionantes | 21 |
| 7.2 | FACTOR DESENCADENANTE..... | 23 |
| 7.2.1 | Densidad de incendios forestales | 24 |
| A) | Registros históricos de ocurrencia de incendios forestales..... | 25 |
| B) | Focos de calor | 25 |
| C) | Áreas afectadas por incendios forestales (cicatrices) | 27 |
| 7.2.2 | Modelamiento del factor desencadenante | 27 |
| 7.3 | MAPA DE SUSCEPTIBILIDAD A INCENDIOS FORESTALES | 29 |
| 8 | ANÁLISIS DE ELEMENTOS EXPUESTOS..... | 31 |
| 8.1 | PATRIMONIALES..... | 31 |
| 8.1.1 | Patrimonio cultural | 31 |
| 8.1.2 | Patrimonio natural | 32 |
| 8.1.3 | Priorización del elemento expuesto | 32 |
| 8.2 | SOCIECONÓMICO | 39 |
| 9 | ESCENARIO DE RIESGO | 39 |
| 10 | CONCLUSIONES..... | 44 |
| 11 | RECOMENDACIONES..... | 45 |
| 12 | BIBLIOGRAFÍA..... | 46 |
| 13 | ANEXO DE MAPAS | 48 |



ÍNDICE DE TABLAS

| | |
|--|----|
| Tabla 1. Población del departamento de Huánuco..... | 7 |
| Tabla 2. Tipos de combustible predominante según la cobertura vegetal | 13 |
| Tabla 3. Ponderación de los tipos de combustibles | 14 |
| Tabla 4. Ponderación de las pendientes..... | 15 |
| Tabla 5. Ponderación de variables climáticas (Thornthwaite) | 18 |
| Tabla 6. Fuerza del viento y efectos en tierra según Beaufort | 19 |
| Tabla 7. Ponderación del promedio anual de energía solar incidente..... | 20 |
| Tabla 8. Matriz de factores condicionantes | 21 |
| Tabla 9. Áreas de niveles de susceptibilidad a incendios forestales en la región Huánuco. | 29 |
| Tabla 10. Priorización del elemento expuesto según el tipo de ecosistema | 33 |
| Tabla 11. Priorización del elemento expuesto según estrategia de conservación..... | 35 |
| Tabla 12. Áreas de niveles de riesgo a incendios forestales en la región Huánuco..... | 40 |
| Tabla 13. Elementos expuestos en el nivel de riesgo muy alto por incendios forestales | 43 |
| Tabla 14. Elementos expuestos en el nivel de riesgo alto por incendios forestales | 43 |

ÍNDICE DE FIGURAS

| | |
|---|----|
| Figura 1. Mapa de ubicación del departamento de Huánuco | 6 |
| Figura 2. Triángulo del fuego para incendios forestales..... | 8 |
| Figura 3. Factores de propagación del fuego para incendios forestales | 8 |
| Figura 4. Tipología de los incendios forestales | 9 |
| Figura 5. Metodología del escenario de riesgo por incendios forestales..... | 9 |
| Figura 6. Modelo del Escenario de riesgo por incendios forestales | 11 |
| Figura 7. Modelamiento de los factores de susceptibilidad..... | 12 |
| Figura 8. Mapa de combustible a partir de la cobertura vegetal..... | 14 |
| Figura 9. Influencia de la pendiente en la propagación del fuego..... | 15 |
| Figura 10. Mapa de pendientes..... | 16 |
| Figura 11. Mapa de condiciones climáticas favorables..... | 17 |
| Figura 12. Mapa de fuerza de los vientos..... | 19 |
| Figura 13. Mapa de irradiación de energía solar incidente | 20 |
| Figura 14. Mapa de factores condicionantes para incendios forestales..... | 22 |
| Figura 15. Incendios registrados por año en la región Huánuco | 23 |
| Figura 16. Tendencia mensual de incendios forestales en la región Huánuco | 24 |
| Figura 17. Histórico de emergencias de incendios forestales por provincia | 24 |
| Figura 18. Mapa de registros históricos de ocurrencia de incendios forestales..... | 25 |
| Figura 19. Mapa de focos de calor históricos de incendios forestales..... | 26 |
| Figura 20. Mapa de superficies afectadas por incendios forestales (cicatrices) | 27 |
| Figura 21. Mapa del factor desencadenante - Propagación de incendios forestales (2003 - 2021).... | 28 |
| Figura 22. Mapa de susceptibilidad a incendios forestales de la región Huánuco. | 30 |
| Figura 23. Elementos expuestos a incendios forestales..... | 31 |
| Figura 24. Priorización del elemento expuesto según el criterio de tipo de ecosistema | 34 |
| Figura 25. Priorización del elemento expuesto según el criterio de estrategia de conservación | 36 |
| Figura 26. Buffer generado para aplicar el criterio de priorización según influencia antrópica | 37 |
| Figura 27. Diagrama de flujo para la asignación de pesos a partir del cruce de los tres criterios. | 37 |
| Figura 28. Mapa de priorización del elemento expuesto ante la ocurrencia de incendios forestales . | 37 |
| Figura 29. Mapa de elementos socioeconómicos, como parte de los elementos expuestos | 39 |
| Figura 30. Superficie en riesgo muy alto, por provincias | 40 |
| Figura 31. Superficie en riesgo alto, por provincias | 41 |
| Figura 32. Mapa del escenario de riesgo por incendios forestales en la región Huánuco..... | 42 |



1 INTRODUCCIÓN

En la región de Huánuco se han registrado una cantidad considerable de emergencias históricas registradas por ocurrencias de incendios forestales, la principal causa de los eventos está relacionada a las actividades de quemas con fines de cambio de uso de suelos (actividad ancestral relacionada a la agricultura) que traen como consecuencias la destrucción de la cobertura forestal, la pérdida de fauna silvestre, el deterioro del patrimonio cultural, y la contaminación de las aguas y del aire.

El CENEPRED, en el marco de las funciones otorgadas por la Ley N° 29664 del Sistema Nacional de Gestión del Riesgo de Desastres (SINAGERD) y su Reglamento, ha elaborado el presente trabajo, cuyo objetivo principal es desarrollar el escenario de riesgo por incendios forestales de la Región Huánuco.

El desarrollo de este estudio contó con la colaboración del Gobierno Regional de Huánuco, quien validó la información utilizada en las diferentes etapas del desarrollo metodológico del escenario de riesgo, así como los resultados del estudio.

El presente documento detalla de manera clara y sencilla la construcción del escenario de riesgo por incendios forestales, en el ámbito de la región Huánuco, con la finalidad de contar con una herramienta técnica de apoyo para la toma de decisiones a nivel regional ante la ocurrencia de incendios forestales.

Finalmente, esta herramienta técnica servirá como un referente para la formulación de planes y documentos de gestión orientados a la prevención y reducción del riesgo de desastres, así como para la respuesta ante los probables daños y/o pérdidas originadas por los incendios forestales en la región.



2 OBJETIVOS

2.1 OBJETIVO GENERAL

Desarrollar el escenario de riesgo por incendios forestales de la región Huánuco.

2.2 OBJETIVOS ESPECÍFICOS

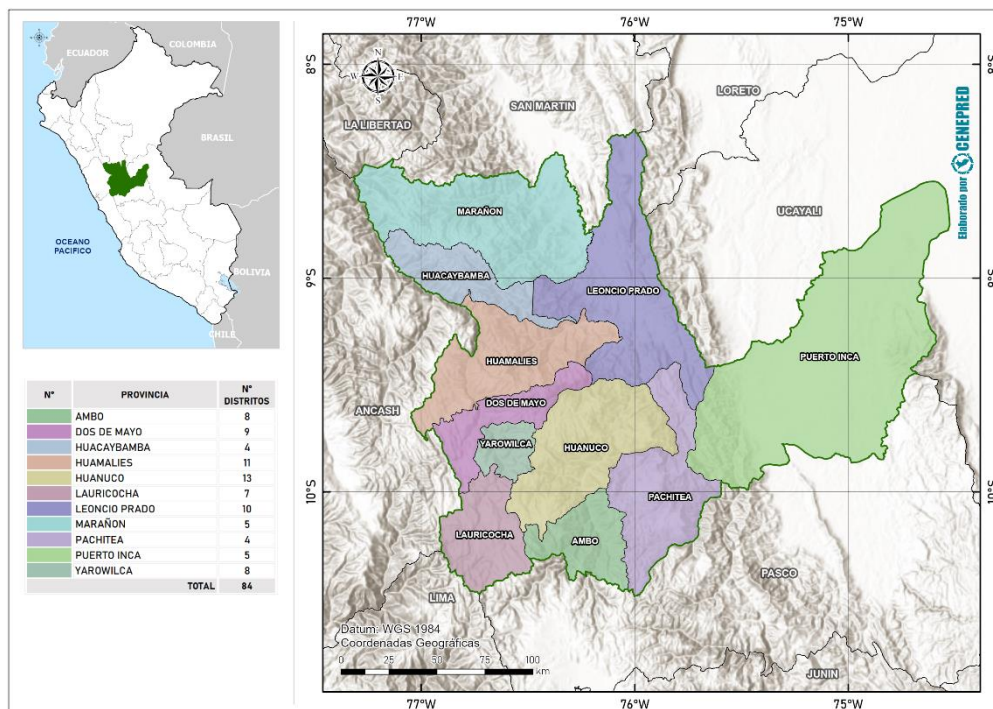
- Elaborar el mapa de susceptibilidad a incendios forestales.
- Elaborar el mapa de los elementos expuestos a incendios forestales.
- Cuantificar los elementos expuestos en todos los niveles de riesgo de incendios forestales.

3 ASPECTOS GENERALES

3.1 UBICACIÓN GEOGRÁFICA

El departamento de Huánuco está situado ubicado en la parte central del país entre la Cordillera Occidental y el río Ucayali, tiene como capital a la ciudad del mismo nombre, Huánuco. Sus límites son por el norte con los departamentos de La Libertad, San Martín, Loreto y Ucayali, por el sur con el departamento de Pasco y por el oeste con los departamentos de Lima y Ancash. Su altitud va desde los 122 msnm (río Pachitea, distrito Honoría – provincia de Puerto Inca), hasta los 6,617 msnm (nevado Yerupaja, distrito de Jesús – provincia de Lauricocha). (Instituto Nacional de Estadística e Informática, 2018)

Figura 1. Mapa de ubicación del departamento de Huánuco



Fuente: Elaborado por el CENEPRED. 2022



3.2 ASPECTOS BIOFÍSICOS

En el departamento de Huánuco se distingue por presentar dos provincias fisiográficas, las mismas que se generan a partir de la presencia de la cordillera Huayhuash y la selva alta que se extiende a lo largo del flanco oriental de los Andes. De esta manera se genera una región natural (región morfológica) la misma que puede contener una o más unidades climáticas. Según el sistema de clasificación de zonas de vida de L.R. Holdridge en la Región Huánuco hay 22 zonas de vida, cada una de las cuales tiene sus propias características en cuanto a climas, suelos, y especies de fauna y flora, conformado en su gran mayoría por bosques pluviales, húmedos y muy húmedos, que configuran los valles interandinos y las amplias zonas de selva; al sur y al norte, encontramos espacios de páramo y tundras, típicos de las alturas andinas y las zonas cordilleranas; finalmente, en la zona noroeste, en el límite con Áncash y La Libertad, existe una franja de bosque seco y estepa espinosa que corresponde al cañón que forma el río Marañón. La Región Huánuco, presenta un relieve accidentado constituido por zonas de sierra y selva (zona andina marcada por la cordillera Huayhuash y la selva alta extendida a lo largo del flanco oriental de los andes); hacia el Sur-oeste presenta el sistema montañoso cordillera de Huayhuash, en el que se destaca la cresta de Yarupajá (6,634 msnm), dominando una sucesión de colosos; el Siulá (6,356 msnm), el Sarapo (6,143 msnm), el Rondoy (5,880 msnm), etc. Por el Norte, Nor-este y Este, el territorio cambia de estructura y ropaje: las alturas nivales ceden su presencia al paisaje de la región Rupa-Rupa o Selva Alta y más al Oriente de la Omagua o Selva Baja. (Gobierno Regional de Apurímac - Gerencia Regional de Recursos Naturales y Gestión del Medio Ambiente, 2014)

3.3 ASPECTOS SOCIOECONÓMICOS

Según el INEI 2018, el departamento de Huánuco tiene una población total 721,047 habitantes, donde 357,169 son hombres y 363,878 mujeres, el 52.1% de la población pertenece al área urbana y el 47.9% corresponde al área rural; A su vez se han cuantificado un total de 263,565 viviendas particulares, el 42.3% corresponden al área urbana y el 59.7% al área rural.

Tabla 1. Población del departamento de Huánuco.

| Ámbito | Hombres | Mujeres | Total |
|--------------|----------------|----------------|----------------|
| Urbano | 184,032 | 191,400 | 375,432 |
| Rural | 173,137 | 172,478 | 345,615 |
| Total | 357,169 | 363,878 | 721,047 |

Fuente: Elaborado por el CENEPRED con información de INEI 2018

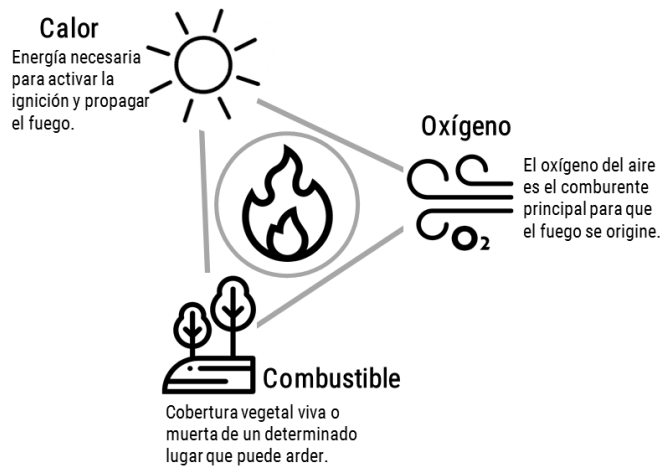
Asimismo, del total de viviendas, el 90.7% se encuentran habitadas. Además, el 46,0% de las viviendas tiene abastecimiento de agua por red pública dentro de la vivienda y el 72.1% del total de viviendas particulares con ocupantes presentes dispone de alumbrado eléctrico conectado a la red pública, mientras que el 27.9% (52 mil 905) no dispone de este servicio. (INEI, 2018)



4 DESCRIPCIÓN DEL FENÓMENO

Un incendio forestal es descrito como el fuego no deseado de cualquier origen, que no es estructural, que se propaga sin control en los recursos forestales causando daños ecológicos, económicos y sociales. Este fuego es la reacción rápida producto de la unión del oxígeno del aire, la cobertura vegetal como combustible y una fuente de calor. A estos elementos se le denomina triángulo del fuego (Figura 2); que se manifiesta en forma de llamas y humo. (Servicio Nacional Forestal y de Fauna Silvestre, 2017) (Servicio Nacional de Áreas Naturales Protegidas por el Estado, 2016)

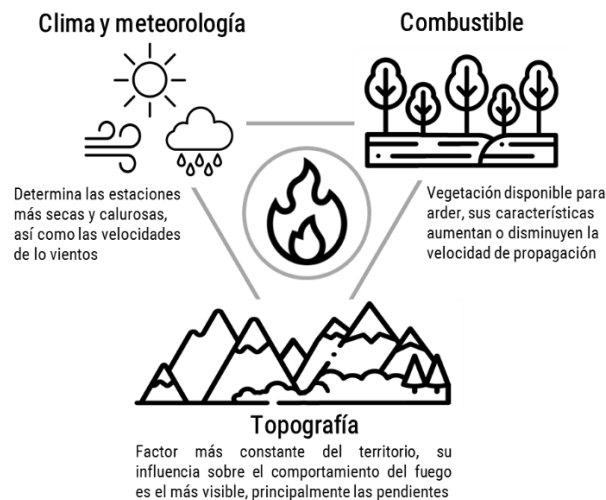
Figura 2. Triángulo del fuego para incendios forestales



Fuente: Elaborado por el CENEPRED. 2020

Una vez que un incendio forestal se ha iniciado, el comportamiento del fuego y su propagación está determinado por tres factores: el tipo de combustible, la climatología y la topografía. A estos tres factores se les conoce como la gran triada (Figura 3).

Figura 3. Factores de propagación del fuego para incendios forestales

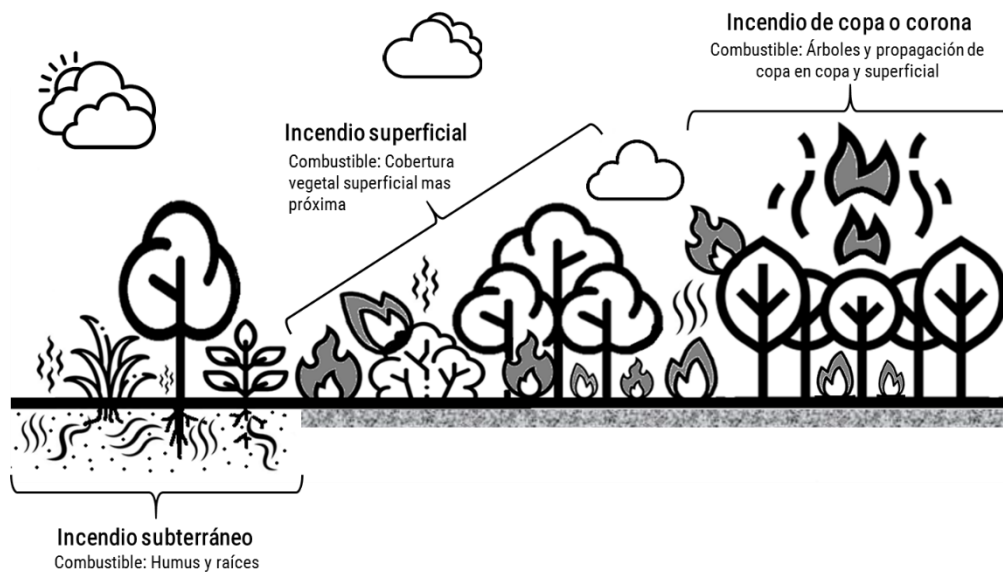


Fuente: Elaborado por el CENEPRED. 2020



Los incendios forestales son variables, sin embargo, se han distinguido tres tipos que implican diferentes grados de daño en los ecosistemas: **los subterráneos**, el fuego quema el humus y raíces bajo la superficie del suelo o la materia orgánica acumulada en las fracturas de grandes afloramientos de roca, se caracteriza por no generar llamas y poco humo; **los superficiales**, donde el fuego consume los combustibles que se encuentran sobre el suelo como hierbas, pajonales, arbustos, leñas, hojarascas y sin quemar todo el cuerpo de los árboles; y por último, **de copa o corona**, en los cuales el fuego consume completamente a los árboles y se propaga tanto de copa en copa como superficialmente (Villers Ruiz, 2006) (Figura 4).

Figura 4. Tipología de los incendios forestales



Fuente: Elaborado por el CENEPRED. 2020

5 ETAPAS DEL ANÁLISIS METODOLÓGICO

La propuesta metodológica utilizada, está compuesta por cuatro etapas como se muestra en la Figura 5.

Figura 5. Metodología del escenario de riesgo por incendios forestales



Fuente: Elaborado por el CENEPRED. 2020



6 RECOPIACIÓN DE LA INFORMACIÓN

Para la elaboración del escenario de riesgo, se utilizó la siguiente información:

- Administración Nacional de Aeronáutica y el Espacio (NASA):
 - Focos de calor 2003 - 2022 obtenidos del sensor VIIRS (Visible Infrared Imaging Radiometer) del satélite Suomi-NPP y los sensores MODIS (Espectrorradiómetro de Imágenes de Resolución Moderada) de los satélites EOS Terra y Aqua.
- Centro Nacional de Estimación, Prevención y Reducción del Riesgo de Desastres (CENEPRED):
 - Mapa de pendientes, con base ASTER Global DEM de la colección Terra ASTER de la Japan Space System.
- Instituto Nacional de Estadística e Informática (INEI):
 - Centros poblados con información socioeconómica del Censo Nacional de Población y Vivienda 2017
- Instituto Nacional de Defensa Civil (INDECI):
 - Registro nacional de emergencias por incendios forestales (2003 – 2022)
- Ministerio del Ambiente (MINAM):
 - Registro histórico de incendios forestales (2003 - 2021),
 - Mapa Nacional de Ecosistemas (2019),
 - Pérdida de bosque 2001 – 2020
 - Mapa de cobertura vegetal (2016)
- Ministerio de Cultura (MINCUL):
 - Información de monumentos arqueológicos (2021)
- Ministerio de Desarrollo Agrario y Riego
 - Cobertura agrícola (2020)
- Servicio Nacional de Áreas Naturales Protegidas por el Estado (SERNANP):
 - Áreas Naturales Protegidas (2019),
 - Zonas de amortiguamiento (2019),
 - Áreas de Conservación Regional (2019),
 - Áreas de Conservación Privada (2019)
- Servicio Nacional de Meteorología e Hidrología (SENAMHI):
 - Mapa climático nacional (2020)
- Servicio Nacional Forestal y de Fauna Silvestre (SERFOR):
 - Cicatrices de incendios forestales (2017 - 2020),
 - Ocurrencias de incendios forestales (2017 – 2020),
 - Ecosistemas frágiles (2019)
- World Bank Group:
 - Atlas solar global (2019),
 - Atlas de vientos global (2019)



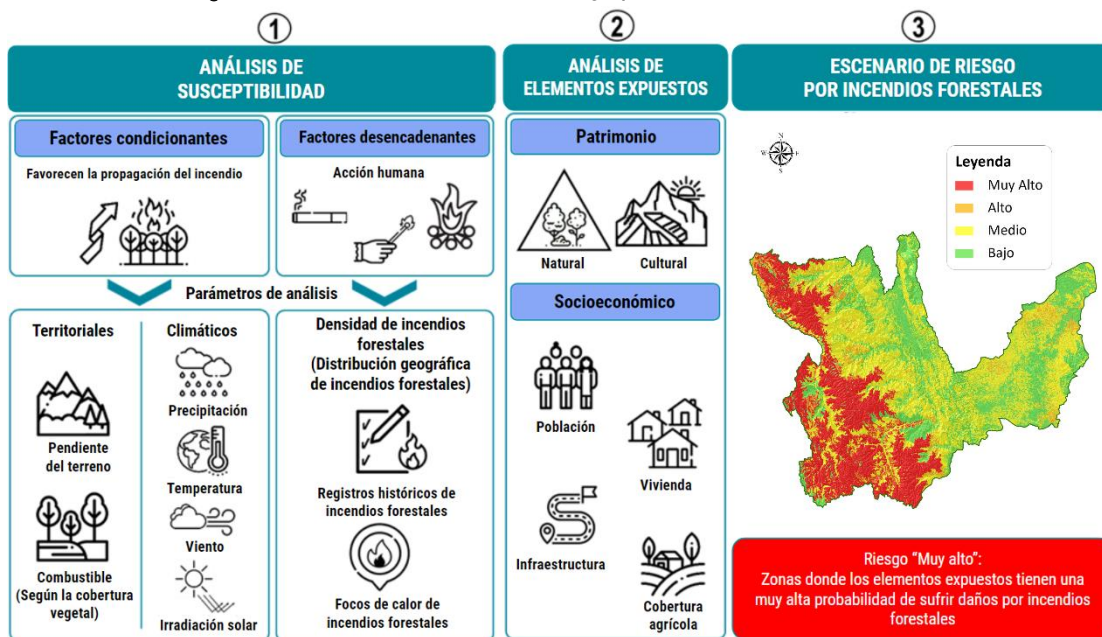
7 ELABORACIÓN DEL ESCENARIO DE RIESGO

El modelo generado para obtener el escenario de riesgo por incendios forestales de la región Huánuco, se encuentra representado en la Figura 6.

El análisis de susceptibilidad examina el peligro por incendios forestales, considerándose como el principal factor desencadenante a las acciones humanas, mientras que los factores condicionantes han tomado en cuenta los elementos que favorecen o desfavorecen la propagación de los incendios forestales. La identificación de los elementos expuestos comprende los elementos patrimoniales: naturales e históricos-culturales, además de los elementos socioeconómicos y medios de vida de las poblaciones.

La superposición de los mapas de susceptibilidad y elementos expuestos dan como resultado el mapa del escenario de riesgo por incendios forestales.

Figura 6. Modelo del Escenario de riesgo por incendios forestales



Fuente: Elaborado por CENEPRED. 2022.

7.1 ANÁLISIS DE SUSCEPTIBILIDAD

Este análisis permitirá conocer la predisposición del territorio del departamento de Huánuco a la ocurrencia de incendios forestales, el nivel de susceptibilidad a incendios forestales estará basado en las características del factor desencadenante y los factores condicionantes. El principal factor desencadenante es el fuego producido por las acciones humanas, mediante las quemas (actividad ancestral relacionada a la agricultura) y actos negligentes de arrojar objetos que producen fuego sobre coberturas vegetales secas como cigarrillos encendidos y objetos de vidrio que pueden generar el efecto lupa. Respecto a los factores condicionantes, se ha considerado las características territoriales y climáticas que favorecen la propagación del fuego (Figura 7).



Figura 7. Modelamiento de los factores de susceptibilidad



Fuente: Elaborado por el CENEPRED. 2020

7.1.1 Factores condicionantes territoriales

A) Combustible (cobertura vegetal)

El tipo de vegetación condiciona la intensidad del fuego para cada zona, estas características intrínsecas de la vegetación le brindan cierto grado de probabilidad de incendiarse, propagar y mantener el fuego, esto se conoce como combustibilidad. (Instituto de Hidrología, Meteorología y Estudios Ambientales, 2011); (Ministerio del Ambiente - Gobierno de la República de Panamá, 2015)

El mapa de combustible fue elaborado por el CENEPRED, basándose en la clasificación de tipos de combustible propuesta por el Instituto de Hidrología, Meteorología y Estudios Ambientales (2011) (Tabla 2). Para ello se utilizó como insumo el mapa de cobertura vegetal de la Zonificación Ecológica Económica de la Región Huánuco (MINAM 2016)¹.

¹ Información homologada con las unidades del Sistema de Clasificación de Cobertura de la Tierra Corine Land Cover (CLC), la metodología Corine Land Cover del año 1990 (CLC90) fue refinada en el año 2000 con la propuesta CLC2000 e Image2000; la primera es una guía para la actualización de bases de datos de cobertura del suelo en Europa, la segunda es una guía estandarizada para el procesamiento de imágenes de satélite.

**Tabla 2. Tipos de combustible predominante según la cobertura vegetal**

| ID | Cobertura vegetal (MINAM) | Combustible predominante |
|----|---|--------------------------|
| 1 | Area altoandina con escasa y sin vegetación | No combustibles |
| 2 | Area urbana | Area urbana |
| 3 | Areas de no bosque amazónico | No combustibles |
| 4 | Bofedal | No combustibles |
| 5 | Glaciar | No combustibles |
| 6 | Herbazal hidrofitico | No combustible |
| 7 | Lagunas, lagos y cochas | No combustibles |
| 8 | Río | No combustibles |
| 9 | Bosque de colina alta | Arboles |
| 10 | Bosque de colina baja | Arboles |
| 11 | Bosque de llanura meándrica | Arboles |
| 12 | Bosque de montaña | Arboles |
| 13 | Bosque de montaña altimontano | Arboles |
| 14 | Bosque de montaña basimontano | Arboles |
| 15 | Bosque de montaña montano | Arboles |
| 16 | Bosque de terraza alta | Arboles |
| 17 | Bosque de terraza baja | Arboles |
| 18 | Bosque inundable de palmeras | Arboles |
| 19 | Bosque relicto mesoandino | Arboles |
| 20 | Bosque xérico interandino | Arboles |
| 21 | Plantación Forestal | Arboles |
| 22 | Agricultura costera y andina | Arbustos/pastos/hierbas |
| 23 | Vegetación de isla | Arboles/arbustos |
| 24 | Matorral arbustivo | Arbusto |
| 25 | Matorral arbustivo altimontano | Arbusto |
| 26 | Pajonal andino | Pastos/hierbas |

Fuente: Elaborado por el CENEPRED con información del GORE Huánuco e IDEAM. 2022

Finalmente, se le otorgó una ponderación según esta última clasificación (Tabla 3).



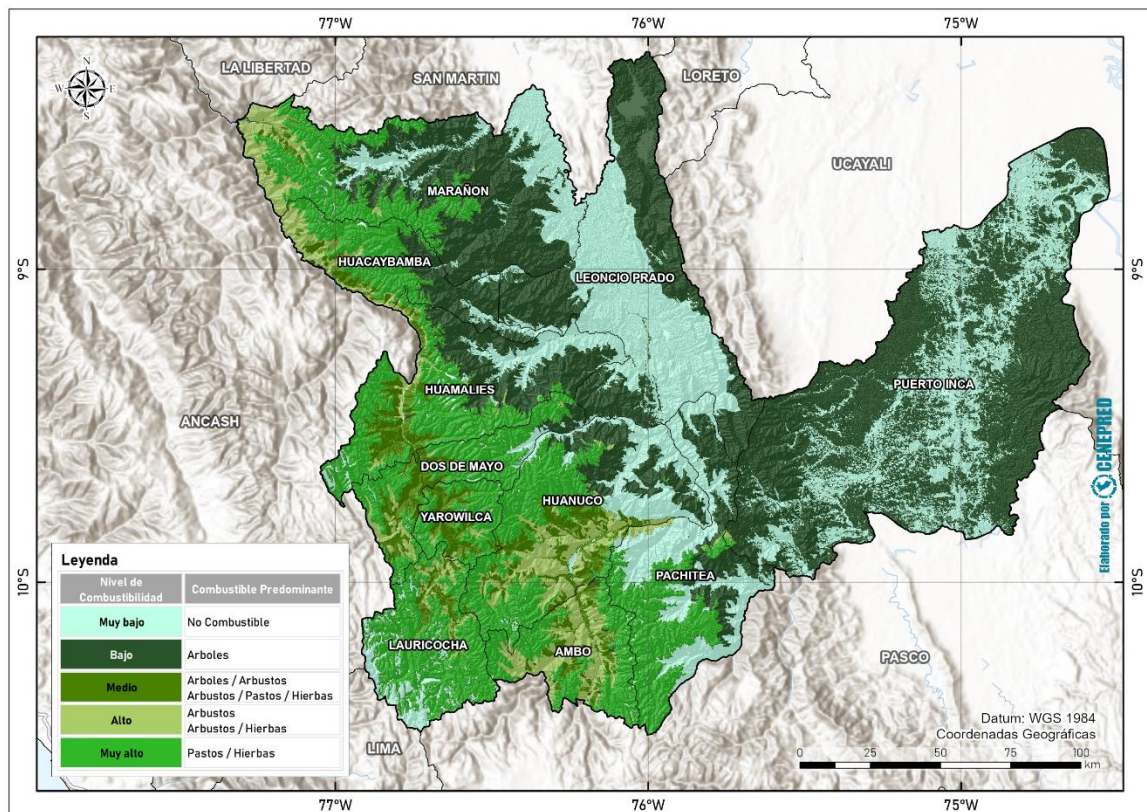
Tabla 3. Ponderación de los tipos de combustibles

| Combustible predominante | Nivel de combustibilidad | Peso asignado |
|--------------------------|--------------------------|---------------|
| No combustible | Muy bajo | 1 |
| Área urbana | Muy bajo | 1 |
| Árboles | Bajo | 2 |
| Arbustos/Pastos/Hierbas | Medio | 3 |
| Árboles/Arbustos | Medio | 3 |
| Arbustos | Alto | 4 |
| Pastos / Hierbas | Muy alto | 5 |

Fuente: Elaborado por el CENEPRED con información del GORE Huánuco e IDEAM. 2022

El resultado del análisis para el mapa de combustible de la región Huánuco se muestra en la Figura 8.

Figura 8. Mapa de combustible a partir de la cobertura vegetal



Fuente: Elaborado por el CENEPRED. 2022

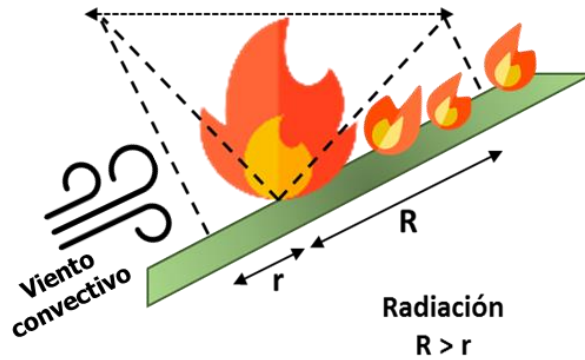
B) Pendiente

Cuando se genera un incendio, este reaccionará favorablemente a las pendientes más pronunciadas, donde las llamas se acercan más al combustible y propagan el



fuego por radiación, convección y contacto con la vegetación precalentada y seca, a su vez las formas del terreno interactúan con las condiciones ambientales como los vientos y el calentamiento solar para promover o retardar el comportamiento del fuego (Johnson & Miyanishi, 2001) (Omi, 2005) (Figura 9).

Figura 9. Influencia de la pendiente en la propagación del fuego



Fuente: Elaborado por el CENEPRED

Para la elaboración del mapa de pendientes de la región Huánuco (Figura 10), se empleó como base, el modelo digital de elevación (30 metros de resolución) obtenido del proyecto ASTER Global DEM de la colección Terra ASTER de la Japan Space System. Por otro lado, los rangos de las pendientes se adaptaron de la propuesta del Instituto Geológico, Minero y Metalúrgico (INGEMMET), para de esta manera asignar un peso a cada rango (Tabla 4).

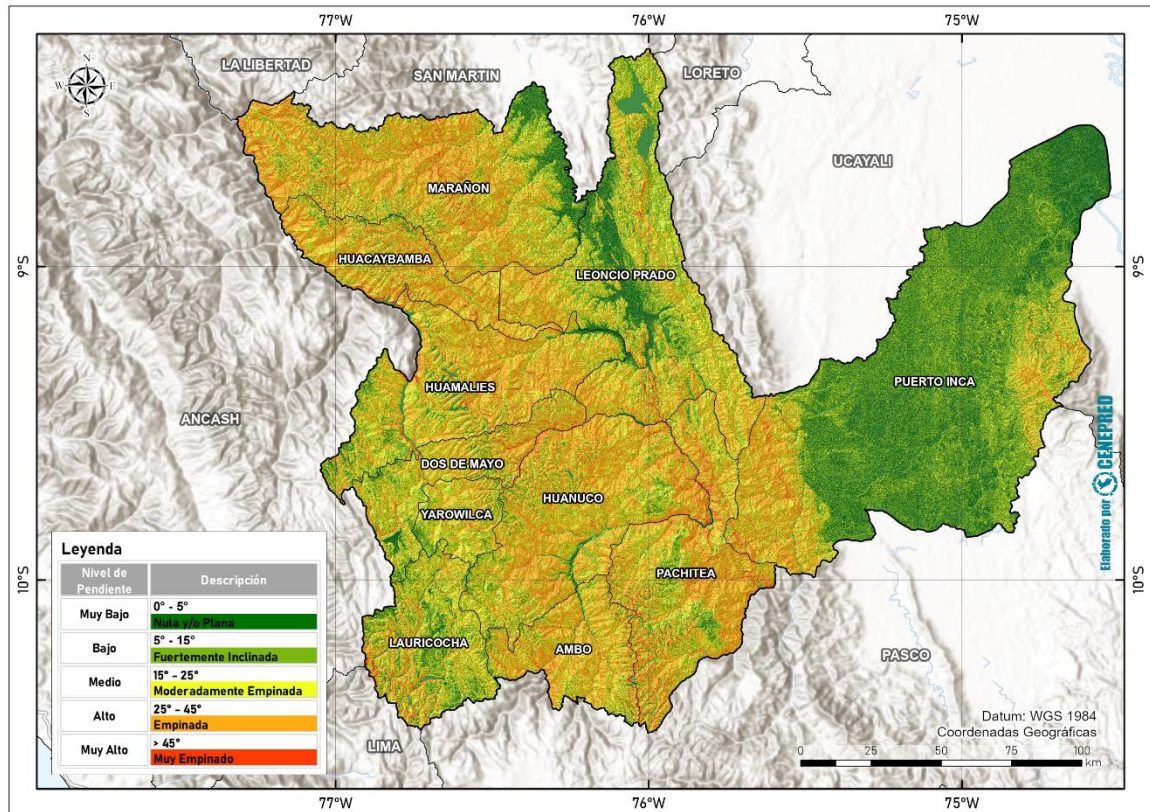
Tabla 4. Ponderación de las pendientes

| Pendiente del terreno en grados | Nivel de pendiente | Peso |
|---------------------------------|--------------------|------|
| Muy escarpada: > 45° | Muy alto | 5 |
| Muy fuerte: 25° a 45° | Alto | 4 |
| Fuerte: 15° a 25° | Medio | 3 |
| Moderada: 5° a 15° | Bajo | 2 |
| Suave: 1° a 5° | Muy bajo | 1 |

Fuente: Adaptado por CENEPRED de INGEMMET. 2020



Figura 10. Mapa de pendientes



Fuente: Elaborado por el CENEPRED. 2022

7.1.2 Factores condicionantes climáticos

Los incendios pueden ser precedidos por temporadas de déficit hídrico. Las regiones especialmente susceptibles a los incendios forestales son aquellas que tienen una estación seca, marcada con altas temperaturas. Asimismo, pueden agravarse con los fuertes vientos que ayudan a extender el fuego sobre grandes áreas (Smith, 2001).

A) Clima

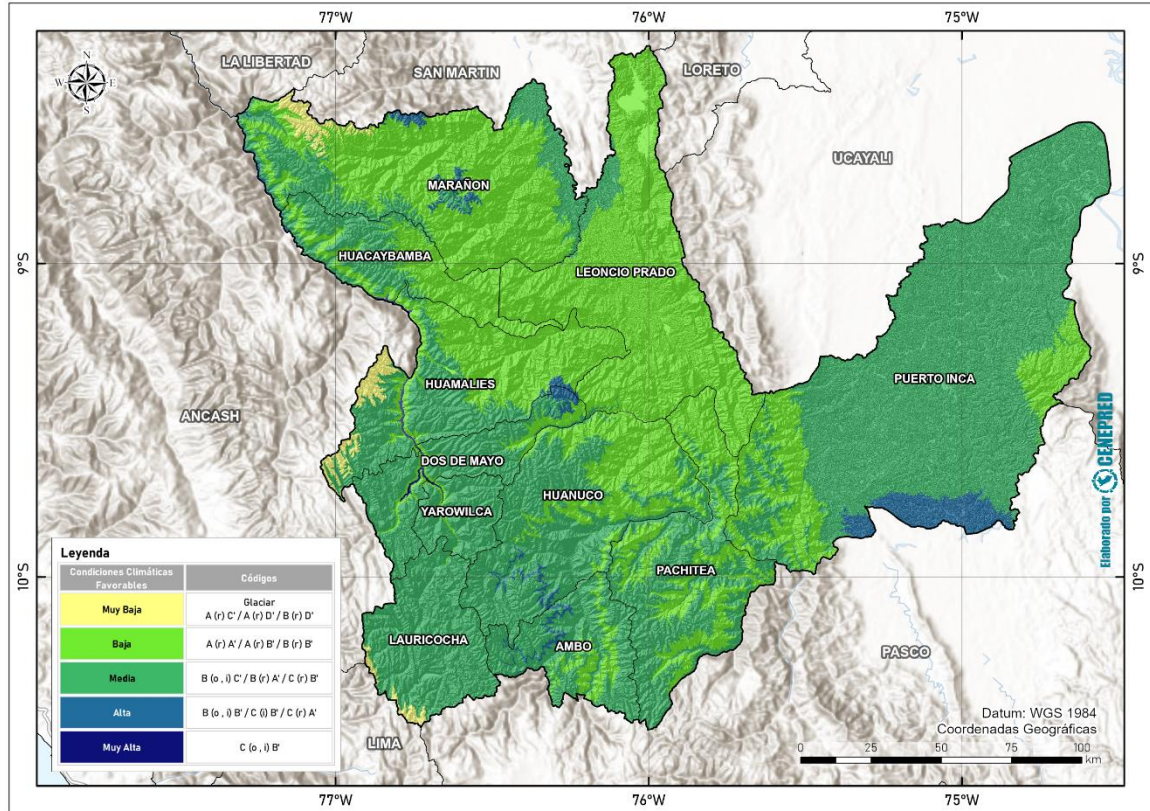
La información usada corresponde al mapa de clasificación climática del Perú, generada por el SENAMHI (2020). La información base de esta clasificación está apoyada en datos meteorológicos de veinte años (1981-2010), a partir de la cual se procedió a formular los "Índices Climáticos" y al trazado de los mismos de acuerdo con el sistema de clasificación de climas de Werren Thornthwaite (SENAMHI, 2020).

Finalmente, las unidades analizadas para el modelo contenían información referida a precipitación efectiva, eficiencia térmica, concentración estacional de humedad, estas variables fueron categorizadas de acuerdo con lo requerido para el modelo de precipitación y temperatura.



Este modelo climático nacional se usó para el territorio de la región Huánuco. Se muestra el resultado del análisis de las variables climáticas regionales en la tabla 5 y el mapa con las condiciones climáticas favorables en la figura 11.

Figura 11. Mapa de condiciones climáticas favorables



Fuente: Elaborado por el CENEPRED con información del SENAMHI. 2022



Tabla 5. Ponderación de variables climáticas (Thornthwaite)

| Código de clima | Precipitación efectiva | Concentración estacional de Humedad | Eficiencia Térmica | Peso |
|-----------------|------------------------|--|--------------------|------|
| Glaciar | Glaciar | Glaciar | Glaciar | 1 |
| A (r) C' | Muy lluvioso | Humedad abundante todas las estaciones del año | Frío | 1 |
| A (r) D' | Muy lluvioso | Humedad abundante todas las estaciones del año | Semifrío | 1 |
| B (r) D' | Lluvioso | Humedad abundante todas las estaciones del año | Semifrío | 1 |
| A (r) A' | Muy lluvioso | Humedad abundante todas las estaciones del año | Cálido | 2 |
| A (r) B' | Muy lluvioso | Humedad abundante todas las estaciones del año | Templado | 2 |
| B (r) B' | Lluvioso | Humedad abundante todas las estaciones del año | Templado | 2 |
| B (o, i) C' | Lluvioso | Otoño e invierno secos | Frío | 3 |
| B (r) A' | Lluvioso | Humedad abundante todas las estaciones del año | Cálido | 3 |
| C (r) B' | Semiseco | Humedad abundante todas las estaciones del año | Templado | 3 |
| B (o, i) B' | Lluvioso | Otoño e invierno secos | Templado | 4 |
| C (i) B' | Semiseco | Invierno seco | Templado | 4 |
| C (r) A' | Semiseco | Humedad abundante todas las estaciones del año | Cálido | 4 |
| C (o, i) B' | Semiseco | Otoño e invierno secos | Templado | 5 |

Fuente: Elaborado por CENEPRED con datos de SENAMHI. 2022

B) Vientos

La propagación rápida del fuego está predominantemente asociada con el viento, más aún en las pendientes más inclinadas, donde generalmente se originan vientos convectivos locales ascendentes (aire calentado por el terreno) y por lo tanto el fuego tiende a subir rápidamente aumentando en la velocidad de propagación hacia el combustible que está sin arder, provocando su rápida ignición. (Moscovich, Ivandic, & Besold, 2014) (Omi, 2005).

Para este escenario se ha usado el mapa de velocidades medias de vientos para Perú obtenido del Atlas Global de Vientos, que es un proyecto internacional publicado por el Grupo del Banco Mundial².

Este mapa nos proporciona una estimación de la velocidad media del viento desde 10 a 200 metros sobre el nivel de la superficie y nos muestra las zonas donde existen las mayores concentraciones de velocidades de los vientos. Para el análisis de la región Huánuco se usarán los datos obtenidos a 10 metros de la superficie y para su

² El mapa de velocidad media de vientos del Perú fue obtenido del "Global Wind Atlas 3.0, una aplicación gratuita basada en web desarrollada, propiedad y operada por la Universidad Técnica de Dinamarca (DTU). El Global Wind Atlas 3.0 se lanza en asociación con el Grupo del Banco Mundial, utilizando datos proporcionados por Vortex, utilizando fondos proporcionados por el Programa de Asistencia para la Gestión del Sector Energético (ESMAP). Para obtener información adicional: <https://globalwindatlas.info>"



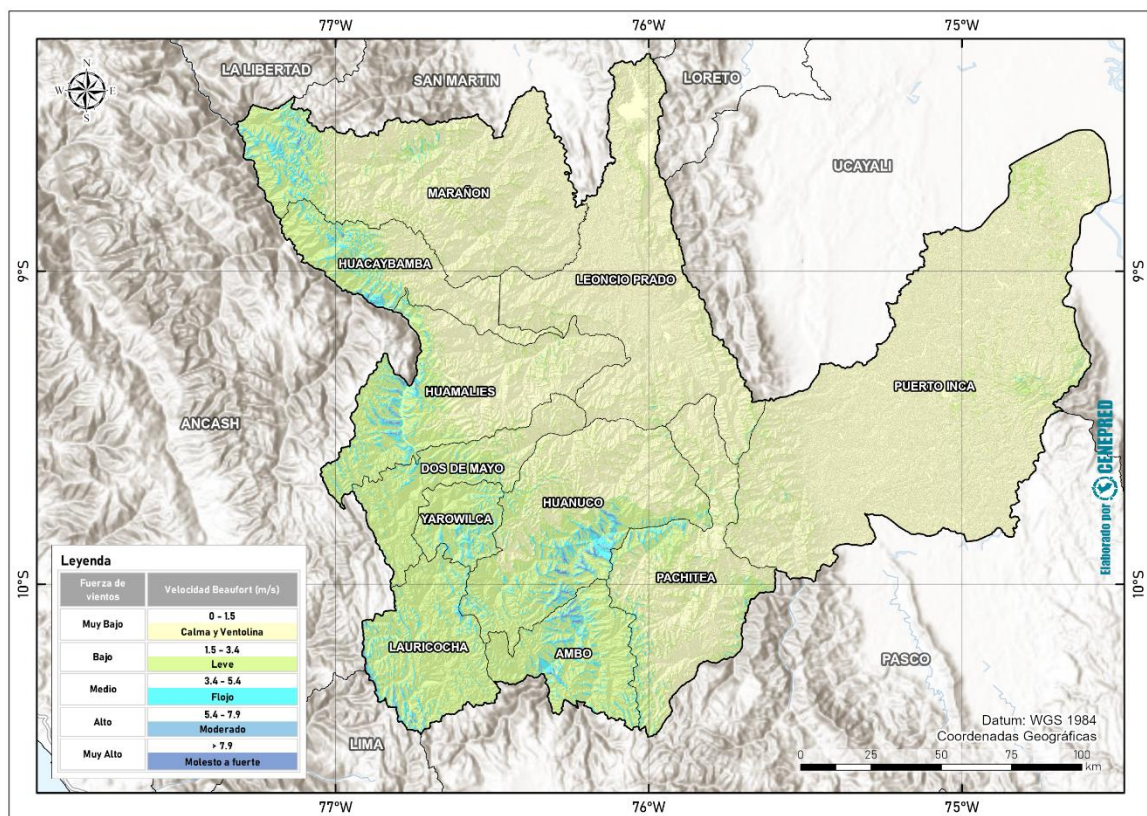
clasificación se tomó como referencia la escala Beaufort para la fuerza del viento a partir de la velocidad y sus efectos en tierra (Tabla 6) y (Figura 12).

Tabla 6. Fuerza del viento y efectos en tierra según Beaufort

| Grado Beaufort | Velocidad Beaufort (m/s) | Descripción | Peso |
|----------------|--------------------------|-------------------|------|
| 0 a 1 | 0.0 - 1.5 | Calma y ventolina | 1 |
| 2 | 1.5 - 3.4 | Leve | 2 |
| 3 | 3.4 - 5.4 | Flojo | 3 |
| 4 | 5.4 - 7.9 | Moderado | 4 |
| Mayor a 5 | > 7.9 | Molesto a fuerte | 5 |

Fuente: Elaborado por CENEPRED. 2020

Figura 12. Mapa de fuerza de los vientos



Fuente: Elaborado por el CENEPRED con información del Global Wind Atlas (World Bank Group). 2022

C) Irradiación solar

La intensidad de la radiación solar es mayor cuando la superficie terrestre es perpendicular a los rayos solares (factor de vista óptimo). La perpendicular sobre la superficie variará con la época del año, la hora del día y la latitud (Zárate López, 2004). En general las solanas están sometidas a una mayor insolación por lo que tienen menor humedad y menos vegetación que las umbrías sin embargo esta vegetación como combustible estará más seca, por lo que el fuego avanzará más rápidamente. (EDUCARM, s.f.)



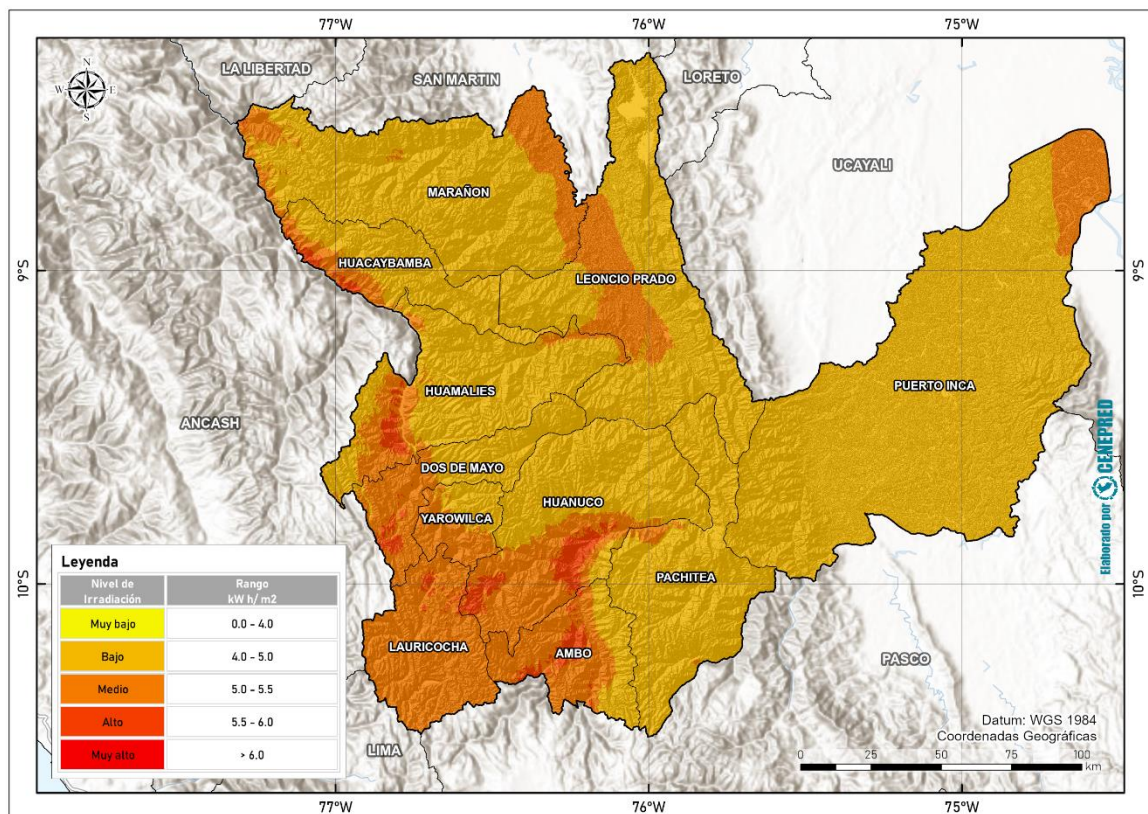
Durante el año, las zonas de mayor incidencia e irradiación de energía solar del territorio de Huánuco se encuentran principalmente en el sector sur-oeste, donde se dispone de 5.6 a 6.0 kW h/m² de energía solar irradiada, mientras que las zonas de valores de irradiación solar bajos las encontramos en el norte y nor-este del departamento (Valores de 4.1 a 5.0 kW h/m²). Esta información fue obtenida del Atlas Solar Global, iniciativa de datos abiertos meteorológicos y de radiación solar de países específicos realizadas por el Banco Mundial³, ver Tabla 7 y Figura 13.

Tabla 7. Ponderación del promedio anual de energía solar incidente

| Rango kW h/m ² | Nivel de energía solar incidente | Peso asignado |
|---------------------------|----------------------------------|---------------|
| 0.0 - 4.0 | Muy bajo | 1 |
| 4.1 - 5.0 | Bajo | 2 |
| 5.1 - 5.5 | Medio | 3 |
| 5.6 - 6.0 | Alto | 4 |
| 6.1 - 7.0 | Muy alto | 5 |

Fuente: Elaborado por CENEPRED con datos del Global Solar Atlas (World Bank Group). 2020

Figura 13. Mapa de irradiación de energía solar incidente



Fuente: Elaborado por el CENEPRED con información del Global Solar Atlas (World Bank Group). 2022

³ El mapa de irradiación solar del Perú fue obtenido de "Global Solar Atlas 2.0, una aplicación gratuita basada en web desarrollada y operada por la empresa Solargis s.r.o. en nombre del Grupo del Banco Mundial, utilizando datos de Solargis, con financiación proporcionada por el Programa de Asistencia para la Gestión del Sector Energético (ESMAP). Para obtener información adicional: <https://globalsolaratlas.info>



7.1.3 Modelamiento de los factores condicionantes

La Tabla 8, muestra los pesos asignados a los parámetros de evaluación, según los factores condicionantes: territoriales y climáticos. Es importante mencionar que los valores de los pesos fueron asignados en coordinación y a través del trabajo conjunto con el equipo técnico de especialistas del Gobierno Regional de Huánuco encargado de esta actividad, con base en su experiencia y conocimiento del territorio.

Tabla 8. *Matriz de factores condicionantes*

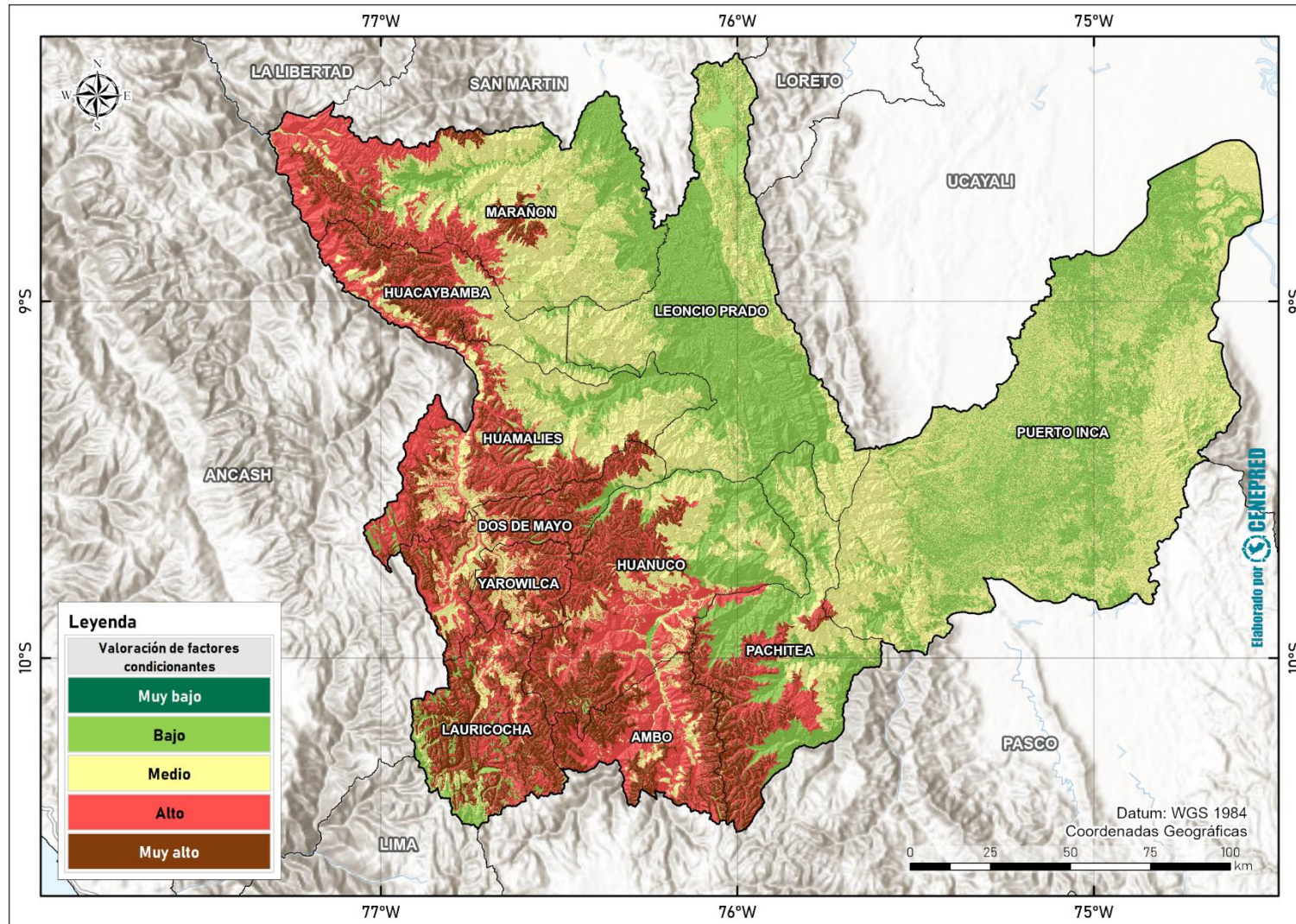
| Parámetros de análisis | | Peso asignado |
|------------------------|-----------------------|---------------|
| F. C. Territoriales | Combustible | 0.55 |
| | Pendiente | 0.15 |
| F. C. Climáticos | Climas (Thornthwaite) | 0.20 |
| | Vientos | 0.05 |
| | Irradiación solar | 0.05 |

Fuente: Elaborado por el CENEPRED. 2022

El resultado espacial del modelamiento de factores condicionantes se muestra en la Figura 14.



Figura 14. Mapa de factores condicionantes para incendios forestales



Fuente: Elaborado por el CENEPRED. 2022



7.2 FACTOR DESENCADENANTE

La Agencia de los Estados Unidos para el Desarrollo (USAID, 2015), a través de una evaluación de manejo de incendios forestales en Perú, diagnosticó por regiones a las causas antrópicas, como las actividades que generan el cambio de uso de suelo y que usan el fuego para la eliminación o renovación de vegetación, estas prácticas en su mayoría no controladas son desencadenantes de los incendios forestales.

Por otro lado, si bien las áreas naturales protegidas (ANP) en la actualidad cuentan con una “Estrategia de gestión del riesgo e incendios forestales” que les ha permitido reducir su número de hectáreas afectadas, el análisis de causas de ignición en sus ámbitos, sugiere que se dan en un 91% por el cambio de uso de suelos y por quema de pastos como actividad ancestral, y el 9% restante por la quema para obtener leña y por negligencias (Servicio Nacional de Áreas Naturales Protegidas por el Estado, 2016)⁴.

Para la región Huánuco, la información estadística correspondiente a los registros históricos de emergencias de incendios forestales (SERFOR 2020, INDECI 2021, MINAM 2021, GORE HUÁNUCO)⁵ del periodo analizado entre 2003-2022, muestra un incremento exponencial de ocurrencias registradas en los tres últimos años (Figura 15).

Figura 15. Incendios registrados por año en la región Huánuco



Fuente: Elaborado por CENEPRED con información del GORE Huánuco, INDECI, MINAM y SERFOR. 2022

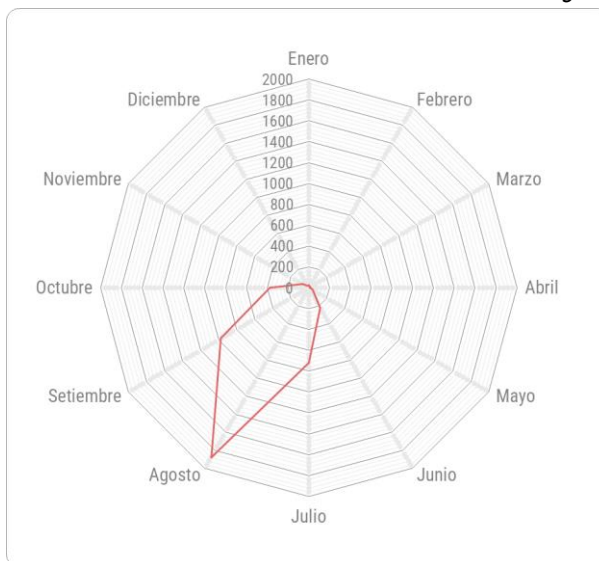
Así mismo, se identificó para la región, que la mayoría de los incendios se han generado en el mes de agosto. Este dato se asocia a la temporada seca, donde el fuego es utilizado en el manejo de prácticas agropecuarias y cambios de uso del suelo (Manta, 2017) (Manta Nolasco & León, 2004) (Figura 16).

⁴ Referenciado en (SERFOR, 2018)

⁵ Información analizada con un corte hasta el mes de abril del 2022.



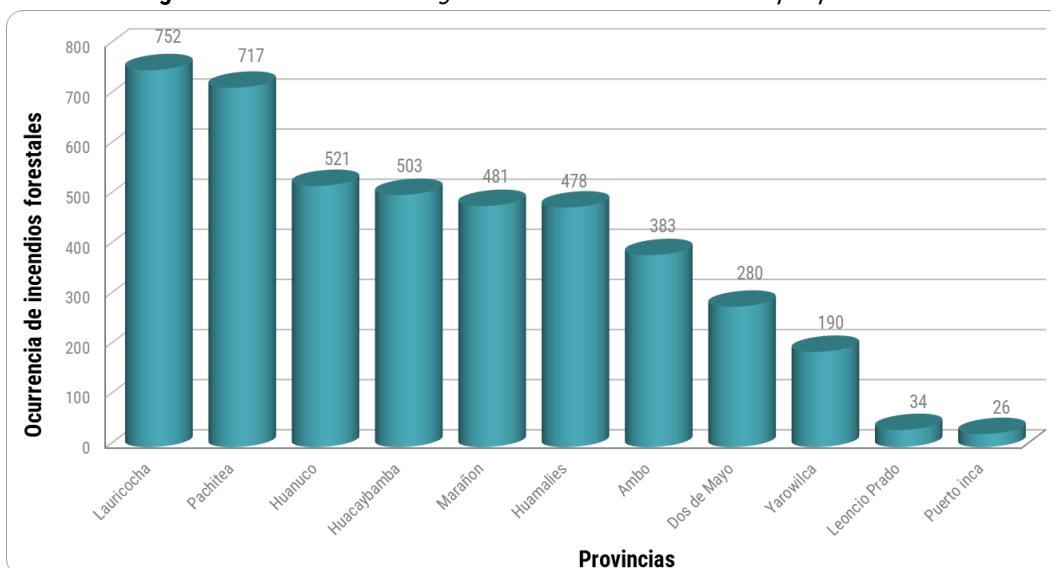
Figura 16. Tendencia mensual de incendios forestales en la región Huánuco



Fuente: Elaborado por CENEPRED con información del GORE Huánuco, INDECI, MINAM y SERFOR. 2022

Al organizar las frecuencias de incendios forestales por provincias durante el periodo 2003-2022, el resultado concluye que las provincias con mayores registros de incendios forestales son: Lauricocha y Pachitea. (Figura 17).

Figura 17. Histórico de emergencias de incendios forestales por provincia



Fuente: Elaborado por CENEPRED con información del GORE Huánuco, INDECI, MINAM y SERFOR. 2022

7.2.1 Densidad de incendios forestales

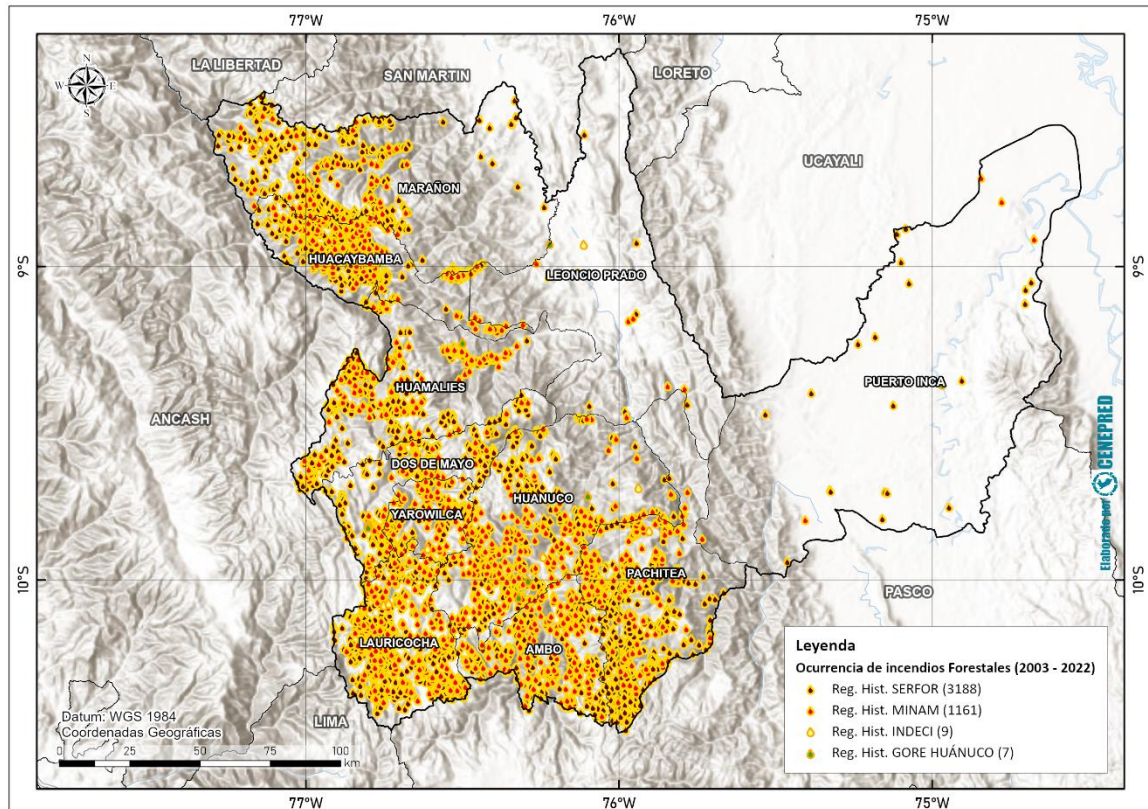
Para la obtención del mapa se elaboró un registro general de la ubicación espacial de incendios forestales con toda la información recopilada, pertenecientes a diferentes fuentes, con la finalidad de contar con una base de datos estandarizada, el tratamiento de estos datos se realizó de la siguiente manera:



A) Registros históricos de ocurrencia de incendios forestales

Se utilizaron los registros y emergencias históricas de incendios forestales del GORE HUÁNUCO, INDECI, MINAM y SERFOR. A estos, previamente se realizaron los controles de limpieza de datos duplicados por ubicación y fecha, posteriormente fueron unidos a una sola base de datos.

Figura 18. Mapa de registros históricos de ocurrencia de incendios forestales



Fuente: Elaborado por el CENEPRED. 2022

B) Focos de calor

- i. Fueron obtenidos a través del conjunto de radiómetros de imágenes infrarrojas visibles (VIIRS). Debido a su mayor resolución espacial de 350 metros, este producto de fuego activo proporciona mayor respuesta sobre los incendios de áreas relativamente pequeñas, así como el mapeo mejorado de grandes perímetros de fuego (Schroeder, Oliva, Giglio, & Csiszar, 2018). Además, esta información fue complementada con los datos de focos de calor de incendios forestales de 1 km de resolución, obtenidos de los sensores MODIS. Para la identificación de posibles incendios forestales en la data descargada se usaron los siguientes criterios:

Para los datos VIIRS, el algoritmo de detección de incendios forestales nos muestra mejoras a las anomalías térmicas obtenidas en el desarrollo de los trabajos de Giglio et al., 2003; Kaufman et al., 1998; Morissette et al., 2005;



Schroeder et al., 2008. En el cual los datos con mayor probabilidad de ser incendios forestales son aquellos que cumplen con los siguientes criterios (Schroeder, Oliva, Giglio, & Csiszar, 2018):

$BT_4 > 325 \text{ K}$ y $\Delta BT_{45} > 25 \text{ K}$ (Durante el día)

$BT_4 > 295 \text{ K}$ y $\Delta BT_{45} > 10 \text{ K}$ (Durante la noche)

Donde:

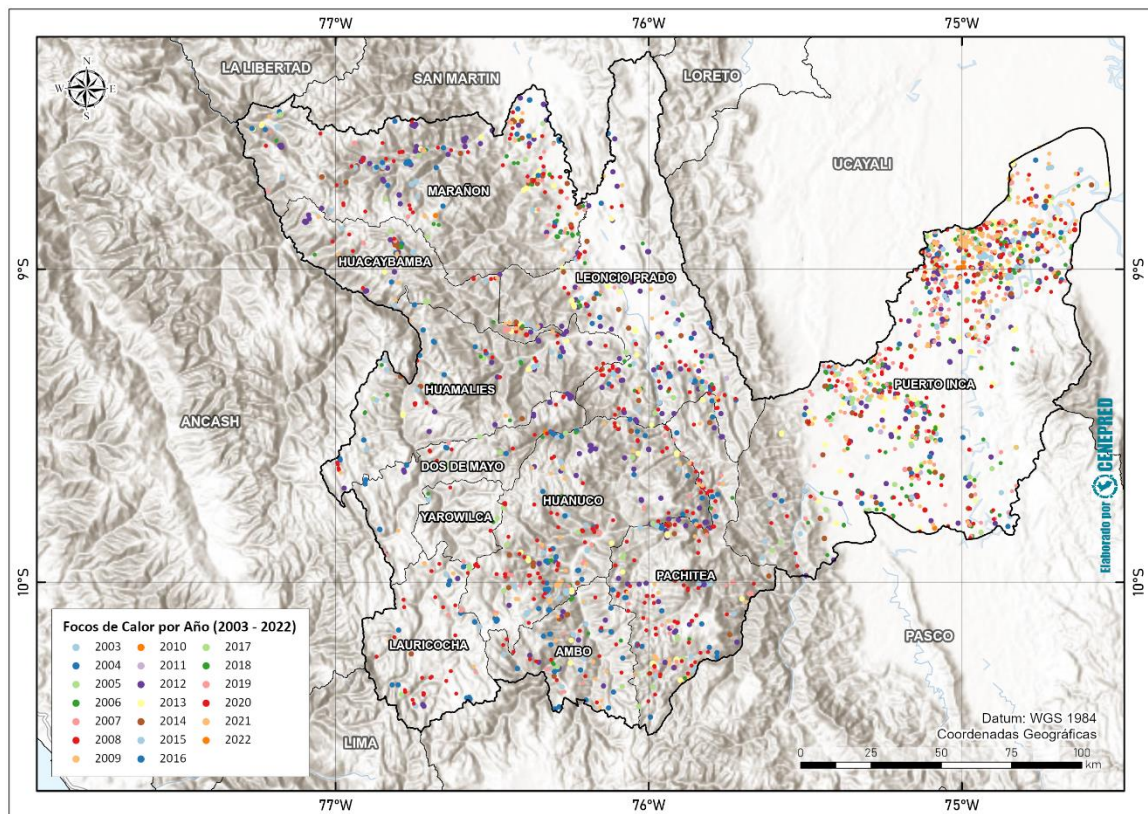
BT_4 : Temperatura de brillo en grados Kelvin

ΔBT_{45} : Diferencia de temperatura de brillo entre los canales 4 y 5

A su vez para los productos MODIS, 310 K representa la temperatura de brillo mínima requerida para que un dato se considere un píxel de fuego y, según la experiencia operativa de validación, 340 K representa un valor típico para un incendio razonablemente obvio durante el día. Para los datos de fuego nocturnos, los umbrales se alteran adecuadamente para que la mínima temperatura de probabilidad sea de 305K y el valor típico de incendio forestal nocturno validado sea de 320K. (Giglio, Descloitres, Justice, & kaufman, 2003)

- ii. Otra fuente de focos de calor históricos de incendios forestales, son los que fueron proporcionados por el SERFOR, los mismos que ya fueron procesados y filtrados por dicha entidad, fueron adjuntados a la base de focos de calor previa verificación de duplicidad.

Figura 19. Mapa de focos de calor históricos de incendios forestales



Fuente: Elaborado por el CENEPRED. 2022

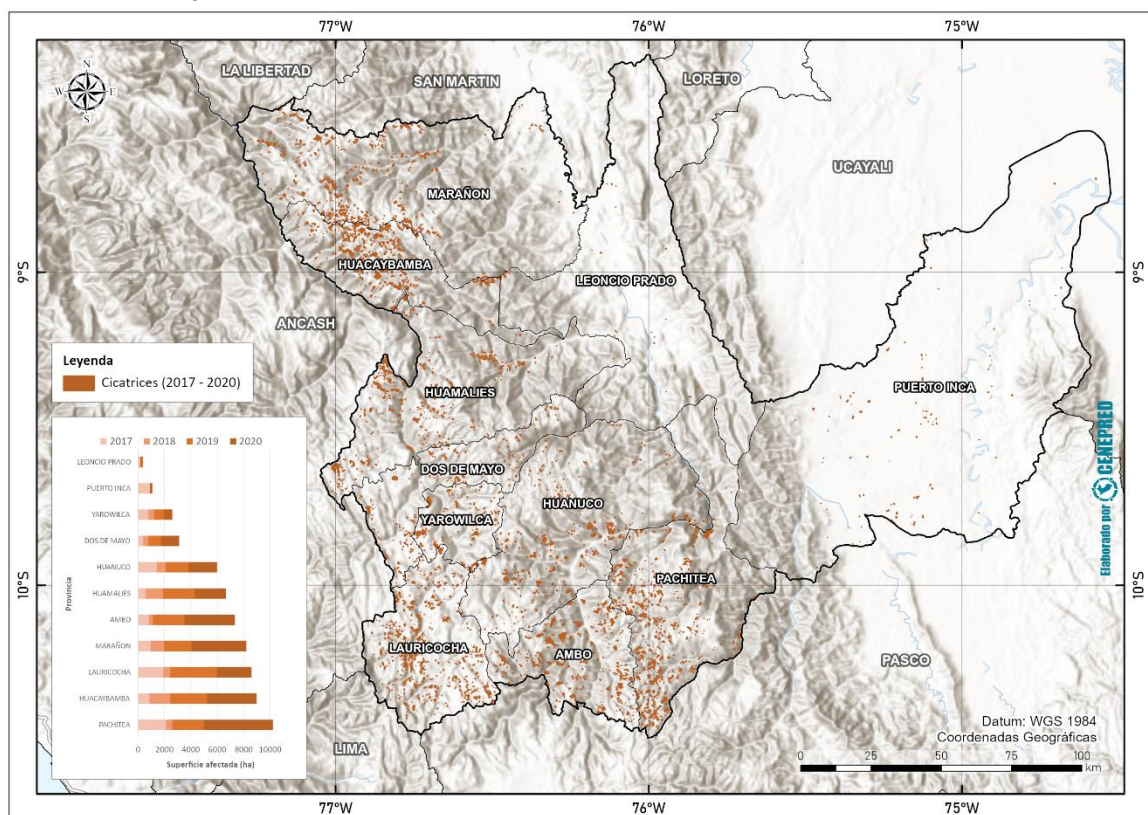


C) Áreas afectadas por incendios forestales (cicatrices)

Esta información fue proporcionada por el SERFOR y permitió conocer la ubicación y magnitud espacial de las áreas afectadas por incendios forestales en el país, por medio de polígonos georreferenciados.

Como se aprecia en el gráfico de la figura 20, las superficies afectadas en 2020 superan considerablemente en su mayoría a las registradas en los años previos. De acuerdo con Ojo Público (Ojo Público, 2021) el contexto pandémico del año 2020 involucró un aumento del 258% de los incendios forestales en toda la Amazonía peruana, con respecto a los registrados en 2019.

Figura 20. Mapa de superficies afectadas por incendios forestales (cicatrices)



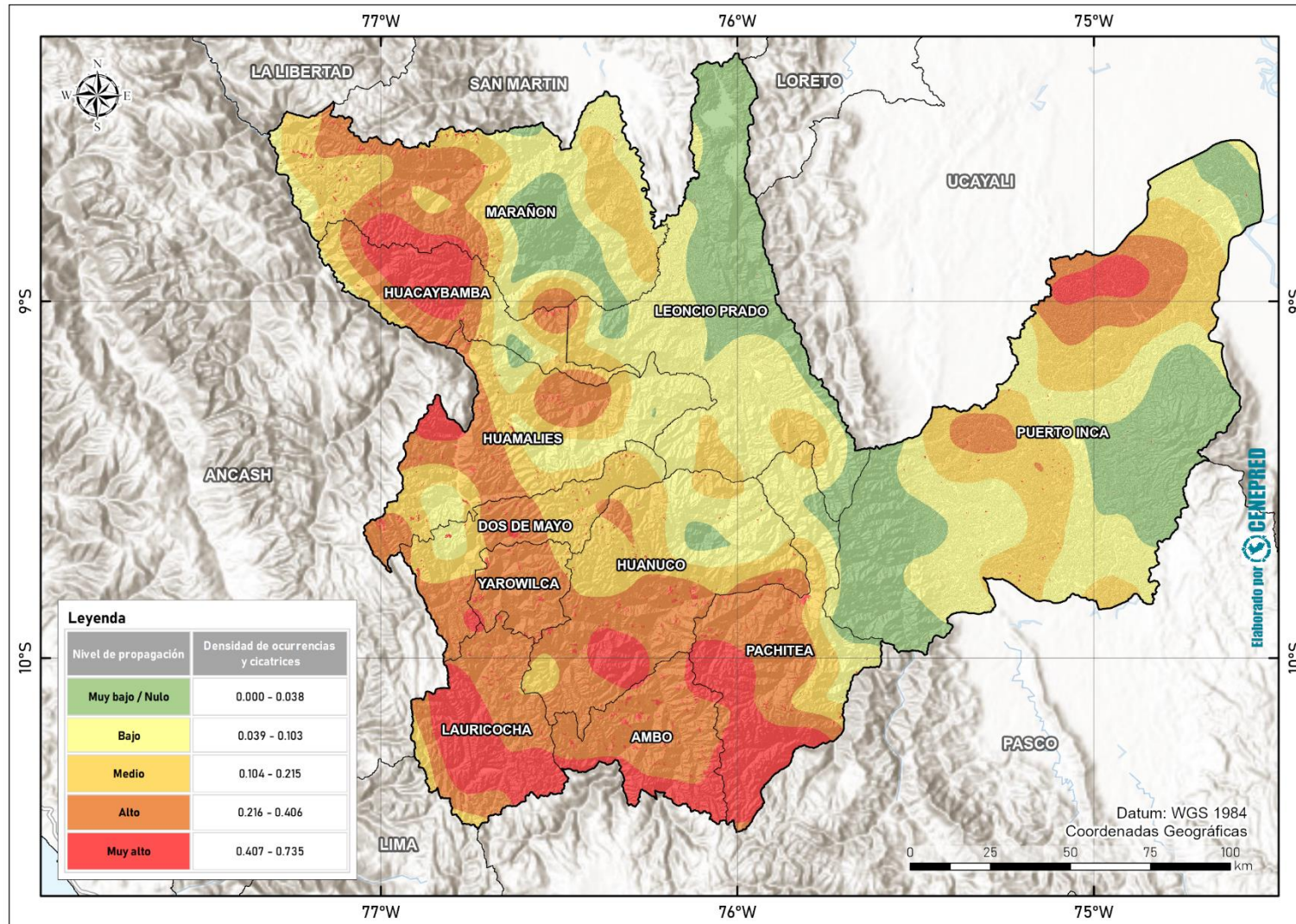
Fuente: Elaborado por el CENEPRED. 2022

7.2.2 Modelamiento del factor desencadenante

Se modeló por el método de densificación de puntos toda la información de la base de datos de ocurrencias de incendios forestales, dando como resultado las áreas de propagación de incendios forestales, que representan una aproximación a la distribución espacial de estos en el ámbito de la región Huánuco, durante el periodo 2003 – 2022. Posteriormente, se le incluyeron las superficies afectadas del 2017 – 2022, asignándoles valor 5, para obtener el mapa final de factor desencadenante (Figura 21).



Figura 21. Mapa del factor desencadenante - Propagación de incendios forestales (2003 - 2021)



Fuente: Elaborado por el CENEPRED. 2022



7.3 MAPA DE SUSCEPTIBILIDAD A INCENDIOS FORESTALES

Este mapa se obtuvo de la unión de los mapas factores condicionantes y mapa del factor desencadenante (Propagación de incendios forestales) (Figura 22).

La Tabla 9 presenta las áreas correspondientes a los niveles de susceptibilidad a incendios forestales en el ámbito de la región Huánuco. Estos se clasifican en 4 categorías: bajo, medio, alto y muy alto.

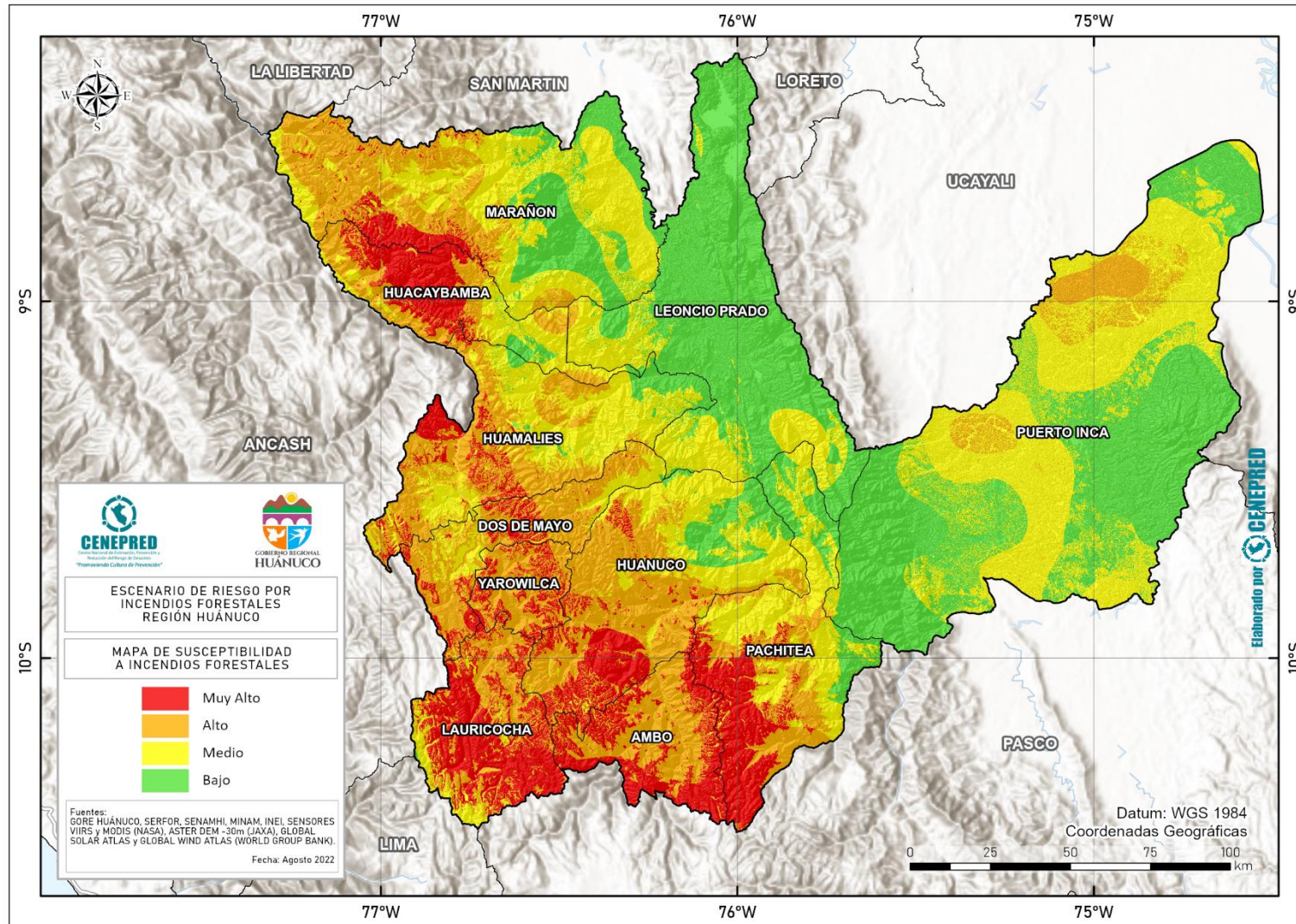
Tabla 9. Áreas de niveles de susceptibilidad a incendios forestales en la región Huánuco.

| Nivel | Área aprox. (Ha) | Porcentaje (%) |
|----------|------------------|----------------|
| Muy Alto | 486,926.35 | 12.98% |
| Alto | 928,342.51 | 24.75% |
| Media | 1,196,755.84 | 31.90% |
| Bajo | 1,139,571.13 | 30.38% |

Fuente: Elaborado por CENEPRED. 2022



Figura 22. Mapa de susceptibilidad a incendios forestales de la región Huánuco.



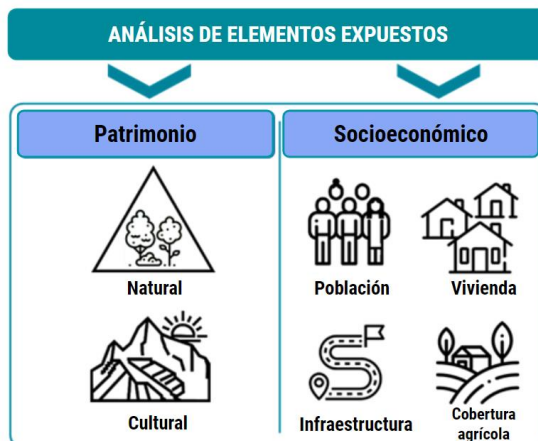
Fuente: Elaborado por el CENEPRED. 2022



8 ANÁLISIS DE ELEMENTOS EXPUESTOS

Los elementos expuestos al peligro de incendios forestales han sido clasificados en patrimoniales y socioeconómicos. Dentro de los patrimoniales se encuentran los naturales y culturales; mientras que en los elementos socioeconómicos se considera la población, las viviendas, la infraestructura y la cobertura agrícola. (Figura 23).

Figura 23. Elementos expuestos a incendios forestales



Fuente: Elaborado por el CENEPRED. 2020

8.1 PATRIMONIALES

8.1.1 Patrimonio cultural

Se entiende por bien integrante del Patrimonio Cultural de la Nación toda manifestación del quehacer humano material o inmaterial, que por su importancia, valor y significado sea expresamente declarado como tal (Ley N° 28296, Ley General Del Patrimonio Cultural de La Nación, del 21 de Julio del 2004, 2004).

Los monumentos arqueológicos prehispánicos son los bienes materiales inmuebles que constituyen evidencia de actividad humana de época prehispánica, este patrimonio en el Perú es muy vasto debido a las grandes civilizaciones que habitaron este país a lo largo de todo nuestro variado territorio. Con fines de registro, delimitación, investigación, conservación, protección y gestión, se clasifican principalmente en: **Sitio Arqueológico**, espacios con evidencia de actividad humana realizada en el pasado; **Zona Arqueológica Monumental**, conjunto de monumentos arqueológicos, de valor singular y excepcional debido a las relaciones cronológicas, funcionales y de dependencia jerárquica; **Paisaje Arqueológico**, lugares que demuestran el desarrollo de actividades humanas en un espacio concreto en interacción con el ecosistema (Reglamento de Intervenciones Arqueológicas, Del 3 de Octubre Del 2014, 2014). Sin embargo, también muchos de estos vestigios, en la actualidad conviven cercanos o en medio de coberturas vegetales amenazadas y



expuestas en los últimos años a la presencia de incendios forestales que podrían afectar su legado histórico.

Para el análisis de afectación por incendios forestales que podría sufrir este patrimonio, a la escala de trabajo para la región Huánuco, serán evaluados mediante la exposición a los niveles de riesgo de acuerdo a su ubicación geolocalizada por el Ministerio de Cultura.

8.1.2 Patrimonio natural

De acuerdo al Plan de prevención y reducción de riesgos de incendios forestales: “El patrimonio forestal y de fauna silvestre, las plantaciones forestales y las áreas naturales protegidas, existentes en el Perú se considera como elementos de riesgo o expuestos”. (Servicio Nacional Forestal y de Fauna Silvestre, 2018)

De acuerdo a lo mencionado este análisis ha considerado a los principales **ecosistemas** que forman parte del patrimonio natural de la región Huánuco, y dado que proporcionan bienes y servicios a la población se constituyen en un importante capital natural. (MINAM, 2019).

De igual forma se está considerando a los **ecosistemas frágiles**, que son áreas de alto valor de conservación por su biodiversidad y los servicios ambientales que brindan, y son altamente vulnerables a consecuencia de las actividades antrópicas que se desarrollan en ellos o en su entorno. (Servicio Nacional Forestal y de Fauna Silvestre, 2020)

Finalmente, las **áreas naturales protegidas** (ANP), también fueron consideradas en el estudio como elementos expuestos naturales, sin embargo, estas áreas cuentan con lineamientos estratégicos referidos al manejo del fuego usados para contribuir a la sostenibilidad de sus ecosistemas y líneas de acción para frenar la amenaza de ser el caso (Servicio Nacional de Áreas Naturales Protegidas por el Estado, 2018). En este grupo se consideró también a las **áreas de conservación regional (ACR) y privadas (ACP)**, debido a que en gran parte están protegidas por similares estamentos.

8.1.3 Priorización del elemento expuesto

La experiencia indica que, a lo largo del territorio, los ecosistemas atraviesan diferentes situaciones de amenaza y/o conservación. Se conoce que, en muchos casos a pesar de encontrarse dentro de áreas de conservación, los ecosistemas se ven amenazados por la creciente y acelerada expansión de la frontera agrícola y urbana. En ese sentido, la priorización o ponderación de estas unidades ecológicas no puede ser homogénea a lo largo de toda la región. La priorización del elemento expuesto fue elaborada basándose en los siguientes tres criterios:



A) Priorización por tipo de ecosistema

La priorización de las unidades de análisis sobre ecosistemas tiene como base el criterio utilizado en el Escenario de Riesgo por Incendios Forestales (CENEPRED, 2020), el cual se fundamenta en los alcances de priorización de trabajos similares de escenarios de riesgo coordinados con especialistas del SERFOR (2019) y del Ministerio del Ambiente (2020) para la elaboración de los escenarios de riesgo por incendios forestales de la región Ancash y del ámbito nacional respectivamente. El resultado final se muestra en la tabla 10 y la figura 24.

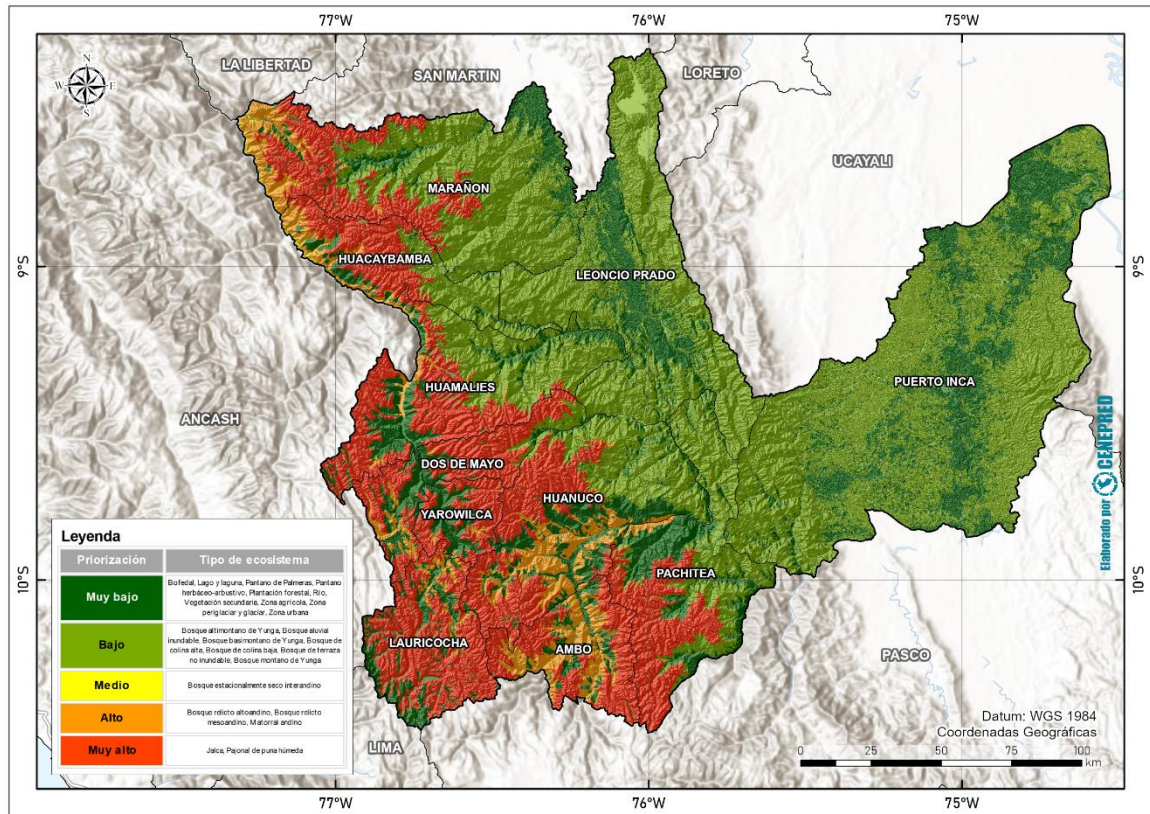
Tabla 10. *Priorización del elemento expuesto según el tipo de ecosistema*

| ID | TIPO DE ECOSISTEMA | PRIORIDAD POR TIPO DE ECOSISTEMA | VALOR |
|----|---|----------------------------------|-------|
| 1 | Bofedal | Muy baja | 1 |
| 2 | Lago y laguna | Muy baja | 1 |
| 3 | Pantano de palmeras | Muy baja | 1 |
| 4 | Pantano herbáceo-arbustivo | Muy baja | 1 |
| 5 | Plantación forestal | Muy baja | 1 |
| 6 | Río | Muy baja | 1 |
| 7 | Vegetación secundaria | Muy baja | 1 |
| 8 | Zona agrícola | Muy baja | 1 |
| 9 | Zona periglacial y glaciar | Muy baja | 1 |
| 10 | Zona urbana | Muy baja | 1 |
| 11 | Bosque altimontano de Yunga | Baja | 2 |
| 12 | Bosque aluvial inundable | Baja | 2 |
| 13 | Bosque basimontano de Yunga | Baja | 2 |
| 14 | Bosque de colina alta | Baja | 2 |
| 15 | Bosque de colina baja | Baja | 2 |
| 16 | Bosque de terraza no inundable | Baja | 2 |
| 17 | Bosque montano de Yunga | Baja | 2 |
| 18 | Bosque estacionalmente seco interandino | Media | 3 |
| 19 | Bosque relicto altoandino | Alta | 4 |
| 20 | Bosque relicto mesoandino | Alta | 4 |
| 21 | Matorral andino | Alta | 4 |
| 22 | Jalca | Muy alta | 5 |
| 23 | Pajonal de puna húmeda | Muy alta | 5 |

Fuente: Elaborado por CENEPRED. 2022



Figura 24. Priorización del elemento expuesto por tipo de ecosistema



Fuente: Elaborado por el CENEPRED. 2022

B) Priorización por estrategia de conservación

La caracterización en función a la estrategia de conservación califica la resiliencia del patrimonio natural con base a la categoría de uso del área de conservación que la contiene. Aquellas áreas con mayor restricción de intervención o usos directos de sus recursos serán las menos vulnerables y, por ende, más resilientes ante la afectación por incendios forestales.

Los resultados de valoración se muestran en la tabla 11 y la figura 25. El valor 1 corresponde a un nivel de vulnerabilidad muy bajo (equivalente a una resiliencia muy alta), mientras que el valor 5 indica muy alta vulnerabilidad (equivalente a una resiliencia muy baja).

La asignación de valores toma como referencia las definiciones establecidas en la siguiente normativa:

- Ley de Áreas Naturales Protegidas (N° 26834) y el Plan Director de las Áreas Naturales Protegidas.
- Lineamientos para la identificación de Ecosistemas Frágiles y su incorporación en la Lista Sectorial de Ecosistemas Frágiles (RDE-N° 287-2018-MINAGRI-SERFOR-DE).
- Ley General del Patrimonio Cultural de la Nación (Ley N° 28296).



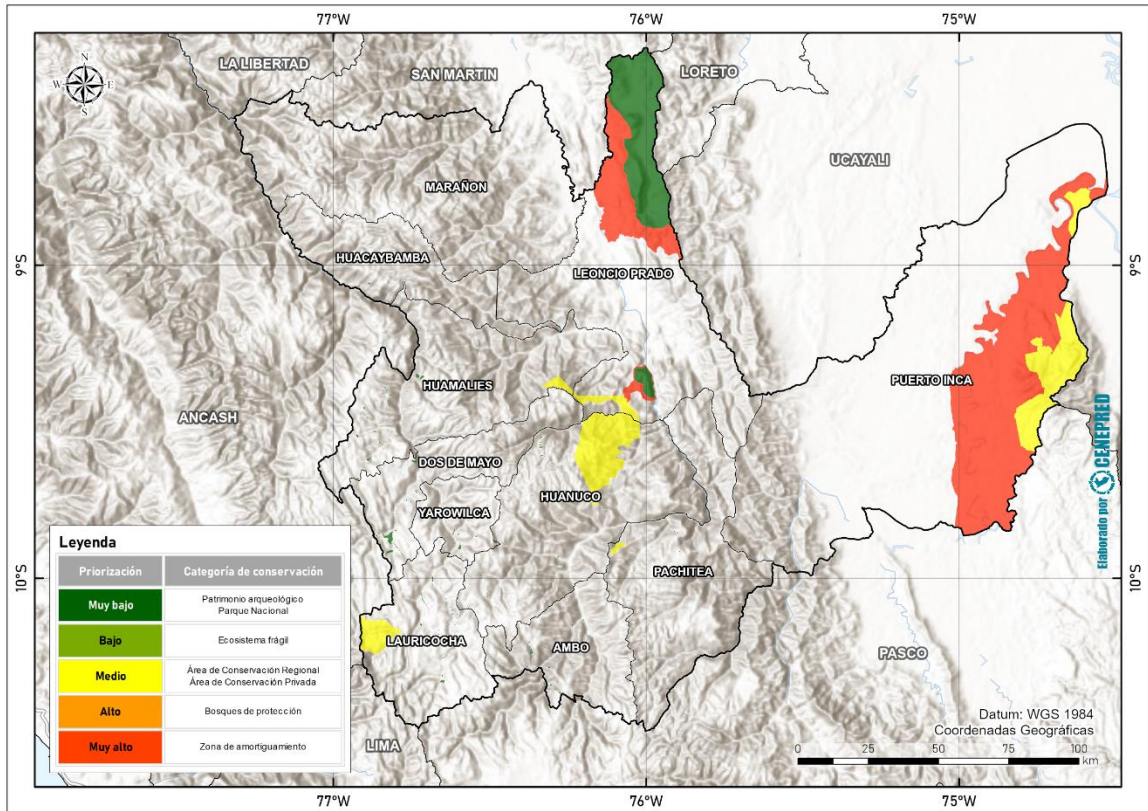
Tabla 11. Priorización del elemento expuesto según estrategia de conservación

| ID | CATEGORÍAS | CARACTERÍSTICAS | PRIORIDAD POR ESTRATEGIA DE CONSERVACIÓN | VALOR |
|----|-------------------------------|---|--|-------|
| 1 | Patrimonio arqueológico | Bienes culturales que, independientemente de su condición de propiedad privada o pública, están protegidos por el Estado. La presente categoría cuenta con un nivel de resiliencia Muy Alto. | Muy bajo | 1 |
| 2 | Parque Nacional | Uso indirecto (investigación, educación, turismo, recreación). No permite intervención. La presente categoría cuenta con un nivel de resiliencia Muy Alto. | Muy bajo | 1 |
| 3 | Ecosistema frágil | Ecosistemas cuya condición de fragilidad hace que sea mayor la necesidad de protección de este espacio y se establece legalmente su delimitación para el respectivo cuidado. La presente categoría cuenta con un nivel de resiliencia Alto. | Bajo | 2 |
| 4 | Área de Conservación Regional | Uso directo (aprovechamiento y extracción de recursos). Características de manejo parecidas a Reservas Nacionales, Reservas Paisajísticas, Refugios de Vida Silvestre, Reservas Comunes, Bosques de Protección y Cotos de Caza. La presente categoría cuenta con un nivel de resiliencia Medio. | Medio | 3 |
| 5 | Área de Conservación Privada | Predios de propiedad privada que por sus características ambientales, biológicas, naturales o paisajísticas son reconocidas y conservadas por sus propietarios por iniciativa propia y en forma voluntaria. La presente categoría cuenta con un nivel de resiliencia Medio. | Medio | 3 |
| 6 | Bosque de protección | Uso directo de recursos silvestres. Uso indirecto (turismo, recreación, investigación y educación). Permitido el uso y aprovechamiento de la fauna silvestre y de productos forestales diferentes a la madera. La presente categoría cuenta con un nivel de resiliencia Bajo. | Alto | 4 |
| 7 | Zona de amortiguamiento | Zonas que requieren un tratamiento especial para garantizar la conservación del área protegida. Actividades variadas ocurren dentro de estas áreas. La presente categoría cuenta con un nivel de resiliencia Muy Bajo. | Muy alto | 5 |

Fuente: Elaborado por CENEPRED. 2022



Figura 25. Priorización del elemento expuesto según el criterio de estrategia de conservación



Fuente: Elaborado por el CENEPRED. 2022

C) Priorización por área de influencia antrópica

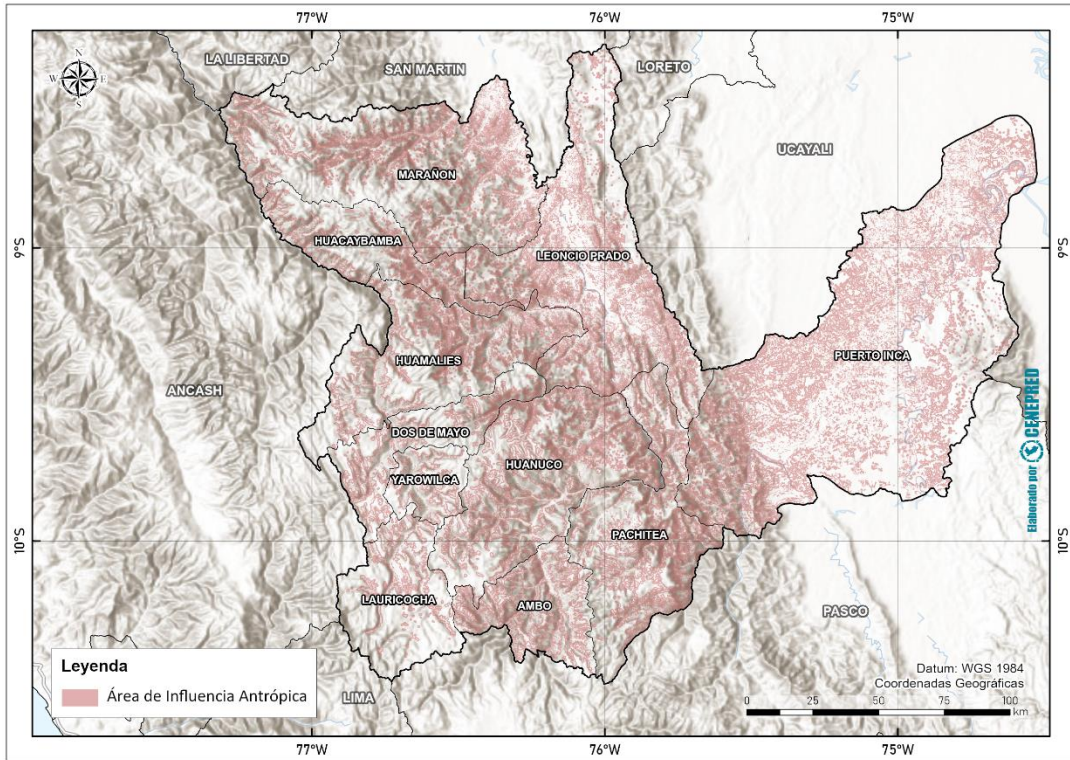
La priorización del elemento en función a la influencia antrópica considera el nivel de exposición del patrimonio frente a la amenaza de la expansión agrícola, comúnmente asociada a la ocurrencia de incendios forestales.

Esta es una capa binaria (Figura 26) que se genera a partir de aplicar un buffer externo de 375 metros (tamaño de un pixel VIIRS para focos de calor) a la acumulación de los datos espaciales de: (1) Pérdida de bosque 2001 - 2020 del MINAM/Geobosques; y (2) cobertura agrícola 2020 del MIDAGRI.

Una vez obtenidas las capas de los tres criterios de priorización, se aplica el flujo de decisión de la figura 27. El proceso ajusta los valores del mapa de priorización por tipo de ecosistema, en función a su intersección con los mapas respectivos de área de influencia antrópica y de priorización por estrategia de conservación.

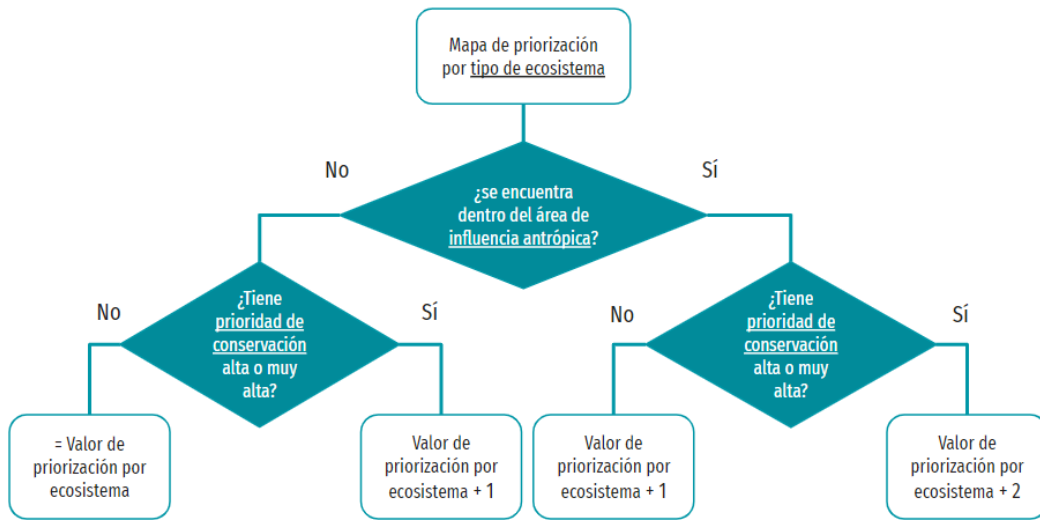


Figura 26. Buffer generado para aplicar el criterio de priorización según influencia antrópica



Fuente: Elaborado por el CENEPRED. 2022

Figura 27. Diagrama de flujo para la asignación de pesos a partir del cruce de los tres criterios.

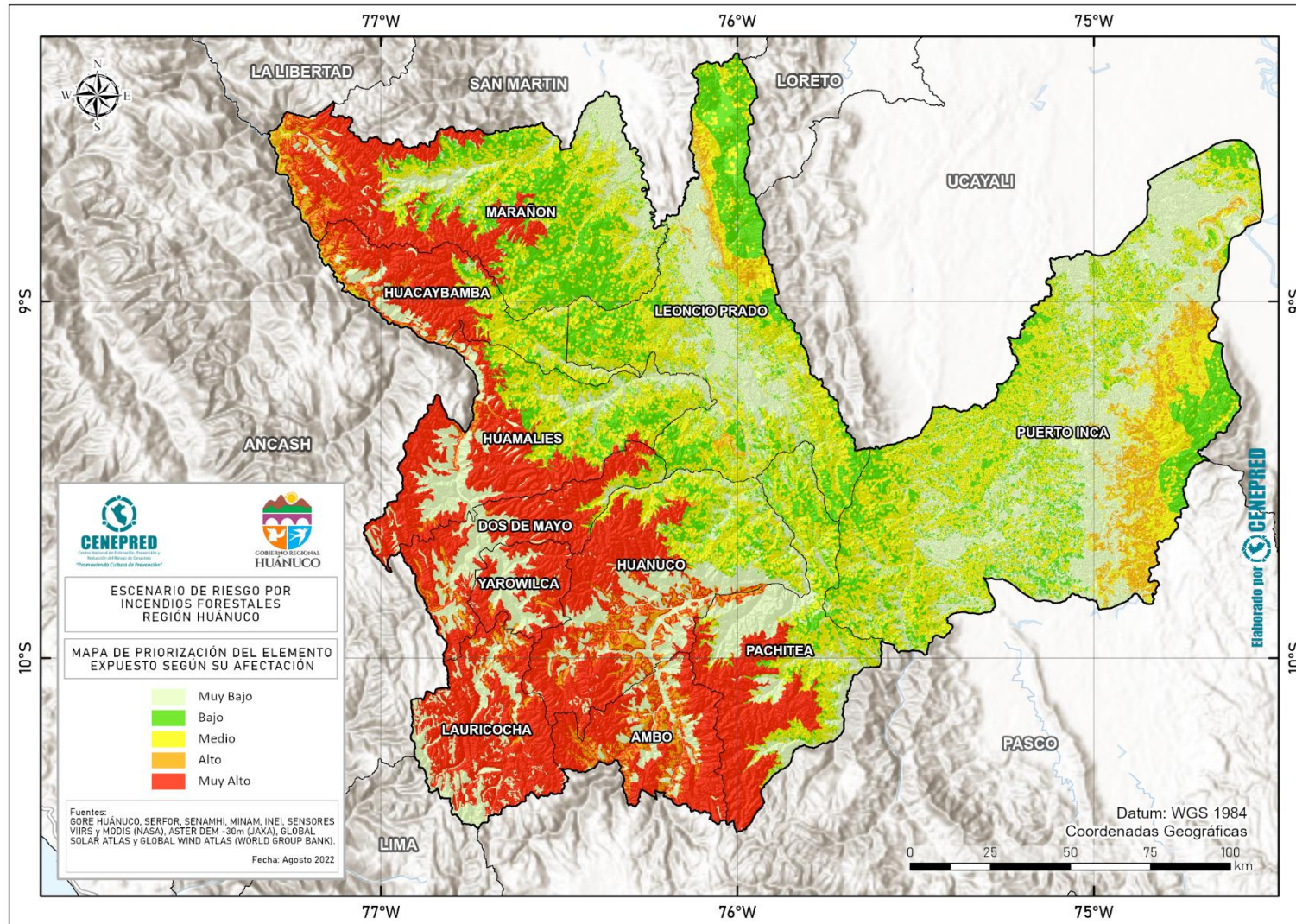


Fuente: Elaborado por CENEPRED. 2022

Como resultado del flujo anterior, se obtienen nuevos valores de priorización del elemento expuesto. Cabe resaltar que, con la finalidad de obtener una leyenda de cinco clases, todas las sumas mayores a 5 son reclasificadas como valor 5 (prioridad muy alta). Además, todas aquellas superficies asociadas a zonas urbanas, agrícolas o cuerpos de agua deben permanecer con valor 1 (prioridad muy baja). El mapa final de priorización del elemento expuesto se presenta en la figura 28.



Figura 28. Mapa de priorización del elemento expuesto ante la ocurrencia de incendios forestales



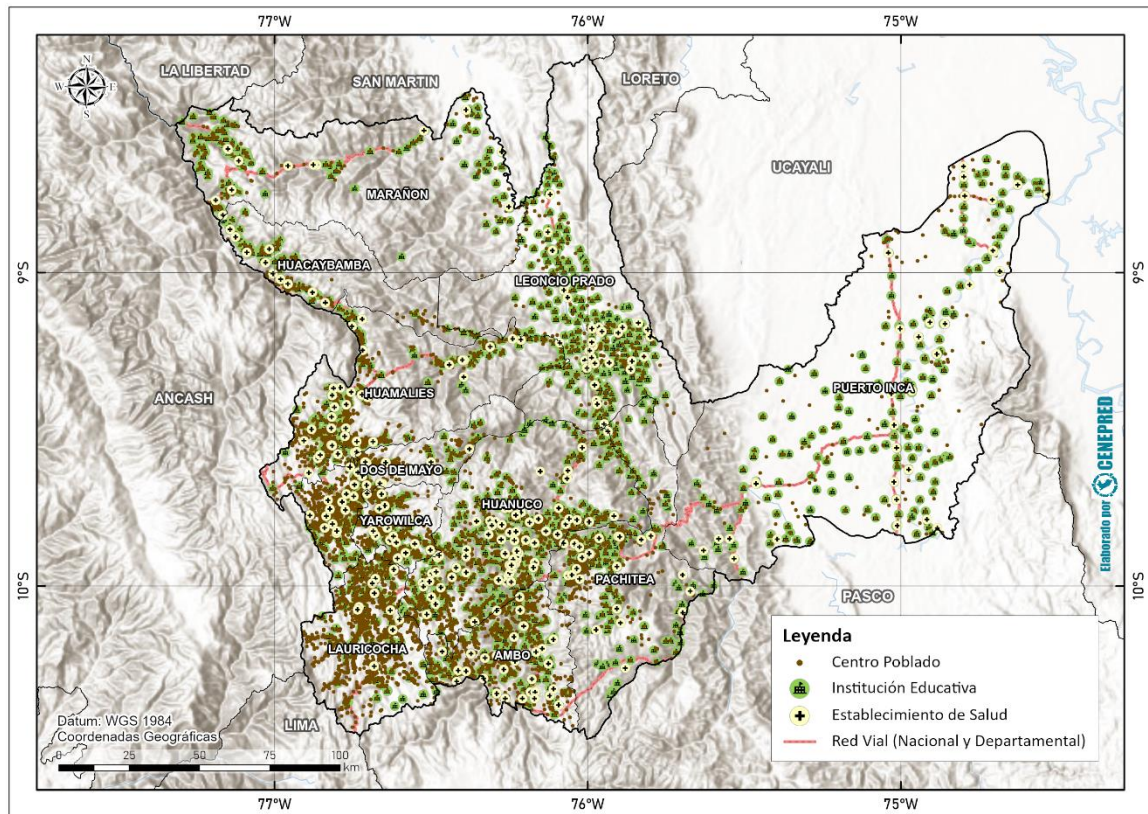
Fuente: Elaborado por el CENEPRED. 2022



8.2 SOCIECONÓMICO

Por ser una escala de trabajo regional, el análisis de afectación por incendios forestales incluye elementos socioeconómicos expuestos a los niveles de riesgo hallados, de acuerdo a su ubicación geolocalizada y registrada por las entidades generadoras de esta información. Estos incluyen: Centros poblados (Viviendas y población) e infraestructura, tales como instituciones educativas, establecimientos de salud, estaciones hidroeléctricas y vías (red nacional y red departamental).

Figura 29. Mapa de elementos socioeconómicos, como parte de los elementos expuestos



Fuente: Elaborado por el CENEPRED. 2022

9 ESCENARIO DE RIESGO

El mapa final de escenario de riesgo se obtuvo de la superposición de los resultados obtenidos del análisis de susceptibilidad (mapa de susceptibilidad a la ocurrencia de incendios forestales) y análisis de elementos expuestos (mapa de priorización del elemento expuesto).

Los niveles de riesgo se clasificaron en cuatro: muy alto, alto, medio y bajo, donde el color rojo representa las áreas con nivel de riesgo muy alto, que son aquellas áreas con mayor probabilidad a ser afectadas ante la ocurrencia de este evento.

De acuerdo con los resultados del escenario de riesgo de la región Huánuco, las áreas de mayor riesgo (niveles alto y muy alto) representan el 32.15% del territorio de la región Huánuco (Tabla 12), distribuidas principalmente en las provincias de Huánuco (con 179,153.25 ha



comprometidas), Marañón (con 170,550.42 ha) y Huamalíes (con 144,426.50 ha), como se muestra en las figuras 30 y 31.

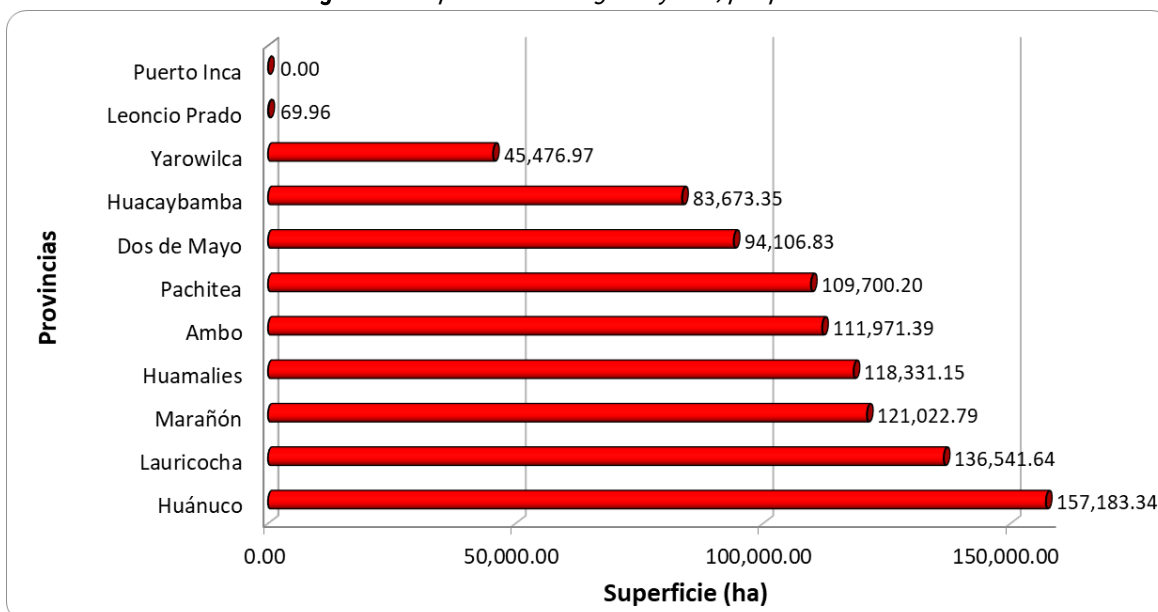
En la figura 32 se muestra el mapa de distribución de las áreas según el nivel de riesgo por incendios forestales en la región Huánuco.

Tabla 12. Áreas de niveles de riesgo a incendios forestales en la región Huánuco

| Nivel | Área aprox. (Ha) | Porcentaje (%) |
|-----------------|---------------------|----------------|
| Muy alto | 978,077.63 | 26.07% |
| Alto | 227,937.44 | 6.08% |
| Medio | 1,497,560.47 | 39.92% |
| Bajo | 1,048,020.29 | 27.94% |
| Total | 3,751,595.83 | 100.00% |

Fuente: Elaborado por CENEPRED. 2022

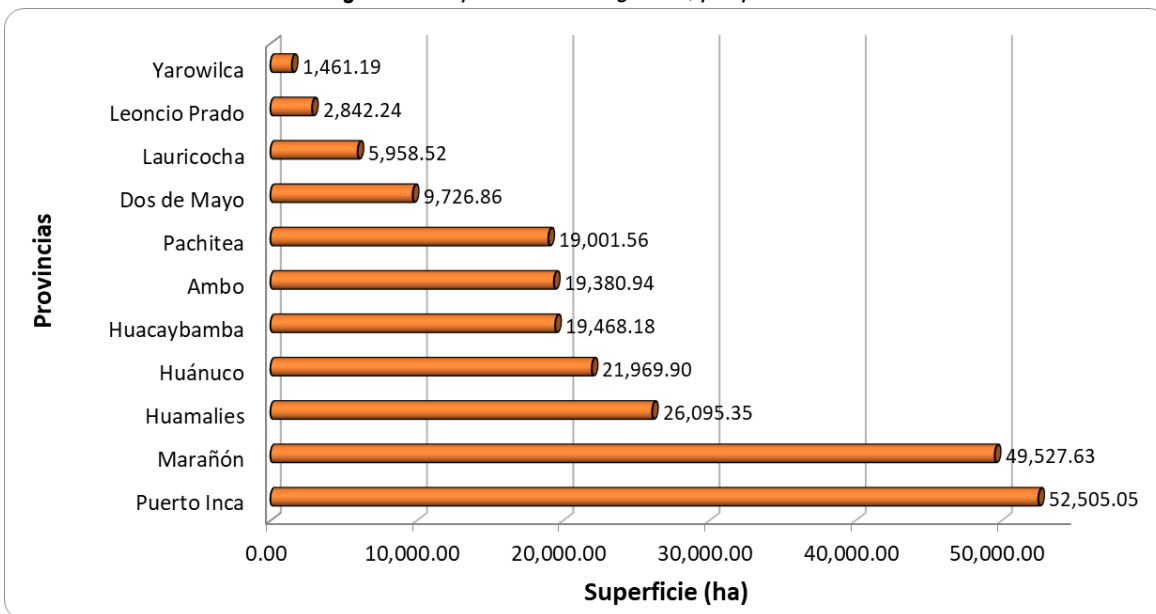
Figura 30. Superficie en riesgo muy alto, por provincias



Fuente: Elaborado por CENEPRED. 2022



Figura 31. Superficie en riesgo alto, por provincias

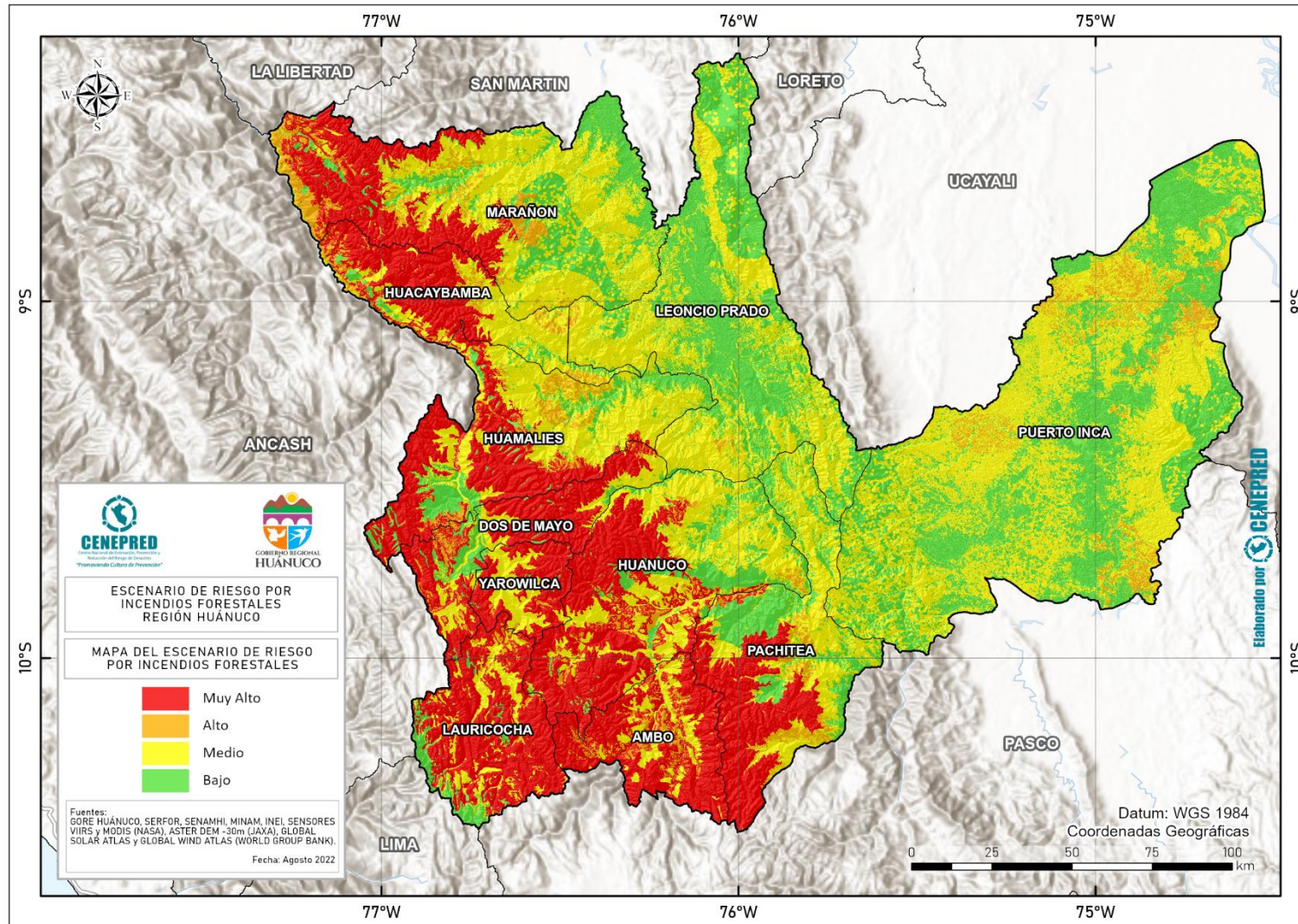


Fuente: Elaborado por CENEPRED. 2022

La cuantificación de los elementos expuestos se obtuvo de la superposición de los elementos patrimoniales y socioeconómicos con el mapa del escenario de riesgo. Los resultados por nivel de riesgo se muestran en las Tablas 13 y 14.



Figura 32. Mapa del escenario de riesgo por incendios forestales en la región Huánuco



Fuente: Elaborado por el CENEPRED. 2022



Tabla 13. Elementos expuestos en el nivel de riesgo muy alto por incendios forestales

| NIVEL DE RIESGO | | MUY ALTO | | | | | | | | | | | | | | | | | |
|-----------------|---------------|---------------------|--------------------|--|---------------------------------------|------------------------|-----------------|---------------------------|---------------------------|---|-----------------|-----------------|----------------------|-----------|-----------|-------------------------|--------------------------|--------------------------|----------------|
| PROVINCIAS | | Patrimonio Cultural | | | Patrimonio natural - ecosistemas (ha) | | | | | | | | Socioeconómico | | | | | | |
| | | Zona Arqueológica | Sitio Arqueológico | Otros (Paisaje cultural, Parq. Arqueológico) | Jalca | Pajonal de puna húmeda | Matorral andino | Bosque relicto mesoandino | Bosque relicto altoandino | Bosque estacionalmente seco interandino | Bosque de yunga | Bosque tropical | Población y Vivienda | | | Infraestructura | | | |
| | | | | | | | | | | | | | Centros Poblados | Viviendas | Población | Cobertura Agrícola (Ha) | Establecimiento de Salud | Instituciones Educativas | Carretera (km) |
| 1 | Ambo | 1 | 41 | 4 | 47,879.72 | 31,724.02 | 32,145.36 | 0.00 | 77.95 | 0.00 | 0.00 | 0.00 | 287 | 3,427 | 11,644 | 20,359.97 | 14 | 59 | 43.35 |
| 2 | Dos de Mayo | 3 | 15 | 2 | 17,337.88 | 70,708.88 | 5,912.04 | 0.00 | 0.00 | 0.00 | 30.71 | 0.00 | 224 | 1,016 | 3,725 | 5,592.93 | 3 | 27 | 18.63 |
| 3 | Huacaybamba | 1 | 6 | 0 | 0.00 | 70,868.50 | 12,652.13 | 0.00 | 0.00 | 16.36 | 37.64 | 0.00 | 29 | 241 | 908 | 2,083.07 | 0 | 11 | 43.89 |
| 4 | Huamálles | 7 | 65 | 7 | 47,519.88 | 65,398.90 | 5,188.41 | 0.00 | 8.40 | 0.00 | 43.36 | 0.00 | 144 | 625 | 2,174 | 7,103.69 | 2 | 14 | 62.70 |
| 5 | Huánuco | 2 | 56 | 3 | 2,827.70 | 114,237.27 | 39,755.28 | 0.00 | 79.75 | 0.00 | 33.59 | 0.00 | 279 | 2,285 | 7,579 | 17,297.74 | 3 | 65 | 43.57 |
| 6 | Lauricocha | 0 | 42 | 17 | 295.24 | 129,536.77 | 6,271.72 | 0.00 | 0.00 | 0.00 | 0.00 | 0.00 | 639 | 1,590 | 5,221 | 7,900.14 | 2 | 37 | 84.61 |
| 7 | Leoncío Prado | 0 | 0 | 0 | 0.00 | 69.74 | 0.00 | 0.00 | 0.00 | 0.00 | 0.22 | 0.00 | 0 | 0 | 0 | 0.00 | 0 | 0 | 0.00 |
| 8 | Marañón | 0 | 6 | 0 | 38,818.99 | 69,154.49 | 12,851.63 | 0.00 | 0.00 | 3.98 | 93.97 | 0.00 | 22 | 301 | 1,210 | 2,782.53 | 1 | 15 | 47.09 |
| 9 | Pachitea | 0 | 8 | 3 | 107,217.66 | 363.05 | 1,836.39 | 126.29 | 0.00 | 0.00 | 123.79 | 0.00 | 59 | 633 | 2,457 | 11,368.99 | 0 | 30 | 21.94 |
| 10 | Puerto Inca | 0 | 0 | 0 | 0.00 | 0.00 | 0.00 | 0.00 | 0.00 | 0.00 | 0.00 | 0.00 | 0 | 0 | 0 | 0.00 | 0 | 0 | 0.00 |
| 11 | Yarowilca | 2 | 17 | 0 | 0.00 | 44,441.52 | 925.25 | 0.00 | 0.00 | 0.00 | 0.00 | 0.00 | 93 | 290 | 803 | 4,097.19 | 1 | 7 | 5.19 |
| Total | | 16 | 256 | 36 | 261,897.08 | 596,503.14 | 117,538.20 | 126.29 | 166.09 | 20.34 | 363.29 | 0.00 | 1,776 | 10,408 | 35,721 | 78,586.25 | 26 | 265 | 370.97 |

Fuente: Elaborado por el CENEPRED con información del MINCUL, INEI, MINSA, MINEDU, MIDAGRI, MINEM, MTC. 2022

Tabla 14. Elementos expuestos en el nivel de riesgo alto por incendios forestales

| NIVEL DE RIESGO | | ALTO | | | | | | | | | | | | | | | | | |
|-----------------|---------------|---------------------|--------------------|--|---------------------------------------|------------------------|-----------------|---------------------------|---------------------------|---|-----------------|-----------------|----------------------|-----------|-----------|-------------------------|--------------------------|--------------------------|----------------|
| PROVINCIAS | | Patrimonio Cultural | | | Patrimonio natural - ecosistemas (ha) | | | | | | | | Socioeconómico | | | | | | |
| | | Zona Arqueológica | Sitio Arqueológico | Otros (Paisaje cultural, Parq. Arqueológico) | Jalca | Pajonal de puna húmeda | Matorral andino | Bosque relicto mesoandino | Bosque relicto altoandino | Bosque estacionalmente seco interandino | Bosque de yunga | Bosque tropical | Población y Vivienda | | | Infraestructura | | | |
| | | | | | | | | | | | | | Centros Poblados | Viviendas | Población | Cobertura Agrícola (Ha) | Establecimiento de Salud | Instituciones Educativas | Carretera (km) |
| 1 | Ambo | 1 | 22 | 2 | 255.86 | 27.46 | 19,011.35 | 0.00 | 3.31 | 0.00 | 0.00 | 0.00 | 135 | 863 | 2,777 | 16,347.67 | 1 | 17 | 6.28 |
| 2 | Dos de Mayo | 1 | 17 | 2 | 3,906.05 | 854.72 | 4,835.88 | 0.00 | 0.00 | 0.00 | 79.19 | 0.00 | 56 | 164 | 526 | 1,628.73 | 0 | 6 | 18.92 |
| 3 | Huacaybamba | 1 | 4 | 0 | 0.00 | 171.09 | 8,795.36 | 0.00 | 0.00 | 741.84 | 9,682.01 | 0.00 | 15 | 439 | 1,600 | 4,466.06 | 1 | 15 | 28.28 |
| 4 | Huamálles | 1 | 20 | 1 | 3,013.63 | 6,846.19 | 4,837.69 | 0.00 | 7.04 | 0.00 | 11,284.51 | 0.00 | 27 | 204 | 611 | 2,636.67 | 1 | 7 | 15.19 |
| 5 | Huánuco | 1 | 18 | 1 | 26.12 | 1,876.64 | 17,518.82 | 0.00 | 6.05 | 0.00 | 2,374.12 | 0.00 | 65 | 906 | 2,868 | 8,986.19 | 1 | 22 | 8.51 |
| 6 | Lauricocha | 0 | 20 | 4 | 4.84 | 174.42 | 5,701.64 | 0.00 | 0.00 | 0.00 | 0.00 | 0.00 | 74 | 167 | 486 | 2,503.13 | 0 | 4 | 7.08 |
| 7 | Leoncío Prado | 0 | 0 | 0 | 0.00 | 5.51 | 0.00 | 0.00 | 0.00 | 0.00 | 2,802.42 | 27.90 | 0 | 0 | 0 | 6.01 | 0 | 0 | 0.00 |
| 8 | Marañón | 0 | 6 | 0 | 340.33 | 12,902.68 | 21,043.81 | 0.00 | 0.00 | 1,032.39 | 14,048.69 | 0.26 | 104 | 1,592 | 6,336 | 9,352.36 | 2 | 54 | 22.85 |
| 9 | Pachitea | 0 | 4 | 0 | 492.83 | 3.53 | 1,848.48 | 35.78 | 0.00 | 0.00 | 16,497.50 | 0.00 | 5 | 76 | 237 | 1,085.84 | 0 | 2 | 8.53 |
| 10 | Puerto Inca | 0 | 0 | 0 | 0.00 | 0.00 | 0.00 | 0.00 | 0.00 | 0.00 | 110.83 | 51,943.00 | 2 | 26 | 92 | 351.30 | 0 | 1 | 0.15 |
| 11 | Yarowilca | 0 | 5 | 0 | 0.00 | 58.42 | 1,388.67 | 0.00 | 0.00 | 0.00 | 0.00 | 0.00 | 24 | 61 | 165 | 1,325.42 | 0 | 4 | 0.00 |
| Total | | 5 | 116 | 10 | 8,039.66 | 22,920.66 | 84,981.69 | 35.78 | 16.40 | 1,774.22 | 56,879.27 | 51,971.16 | 507 | 4,498 | 15,698 | 48,689.39 | 6 | 132 | 115.80 |

Fuente: Elaborado por el CENEPRED con información del MINCUL, INEI, MINSA, MINEDU, MIDAGRI, MINEM, MTC. 2022



10 CONCLUSIONES

- De acuerdo con el número de incendios forestales registrados por año (provenientes de las bases de datos del SINPAD-INDECI, MINAM y SERFOR) entre 2003-2021 la tendencia es ascendente; y se muestra un aumento exponencial de ocurrencias principalmente entre los años 2019 y 2020. Se desconoce si esa tendencia pueda deberse a la creciente accesibilidad de datos y tecnologías, o a algún otro evento en particular.
- De acuerdo con la base de datos de ocurrencias/emergencias de incendios forestales en el periodo 2003 - 2021 (provenientes del SINPAD-INDECI, MINAM y SERFOR), la provincia del departamento de Huánuco con mayor cantidad eventos ocurridos a lo largo de este periodo fueron: Lauricocha y Pachitea. Asimismo, los resultados del escenario de riesgo muestran que las provincias con mayores niveles de riesgo (alto y muy alto) son: Huánuco (con 179,153.25 ha comprometidas), Marañón (con 170,550.42 ha) y Huamalíes (con 144,426.50 ha).
- El resultado del escenario de riesgo por incendios forestales nos muestra que el 26.07% (978,077.63 ha aproximadamente) del territorio de la región Huánuco está expuesto a riesgo muy alto. Así mismo el 6.08% (227,937.44 ha aproximadamente) está expuesto a riesgo alto.
- Del análisis detallado del patrimonio, se concluye que los ecosistemas con nivel de riesgo muy alto por incendios forestales son principalmente: el pajonal de puna húmeda (596,503.14 ha), la jalca (261,897.08 ha) y el matorral andino (117,538.20 ha). En cuanto a los ecosistemas con nivel alto de riesgo, los predominantes también son: el matorral andino (84,981.69 ha), el bosque de yunga (56,879.27 ha) y el bosque tropical (51,971.16 ha).
- Dentro de los elementos socioeconómicos expuestos, existen 1,776 centros poblados de la región Huánuco que presentan un nivel de riesgo muy alto ante incendios forestales. Asimismo, 78,586.25 ha de área agrícola, 26 establecimientos de salud, 265 instituciones educativas y 370.97 km de carretera muestran un nivel de riesgo muy alto ante incendios forestales. Mientras que, aquellos elementos que cuentan con un nivel alto de riesgo son 507 centros poblados, 48,689.39 ha de área agrícola, 6 establecimientos de salud, 132 instituciones educativas y 115.80 km de carretera.



11 RECOMENDACIONES

- Es necesario que las entidades técnicas competentes en incendios forestales de la región Huánuco, desarrollen bases de datos de manera articulada, estandarizada y georreferenciada, que integren los registros de las diferentes fuentes recopiladoras, considerando las características de los eventos como severidad o intensidad, tiempo de duración, área afectada, daños y/o pérdidas, entre otras.
- El presente trabajo servirá como insumo para la formulación de los planes de Prevención y Reducción del Riesgo de Desastres por Incendios Forestales de la región Huánuco, para implementar medidas preventivas y correctivas del riesgo, a su vez puede servir como referencia para los planes de contingencia ante incendios forestales en la región y así priorizar sus ámbitos de intervención.
- Los ejecutores de la gestión del riesgo regional y local tienen en este trabajo la focalización de las zonas donde pueden generar estudios y/o escenarios de riesgo a escalas más detalladas, que les permita planificar las acciones correspondientes a los procesos de prevención y reducción ante incendios forestales.
- La escala de trabajo utilizada en este escenario de riesgo es para un análisis territorial a nivel regional, por tanto, se recomienda que, para trabajos a nivel local, se trabajé con información a escalas más detalladas siguiendo y adecuándola a la metodología propuesta en el presente estudio.
- Difundir el presente escenario de riesgo por incendios forestales a las entidades regionales que vienen trabajando en todos los procesos de la gestión del riesgo de desastres.
- Establecer acuerdos interinstitucionales para la actualización periódica de este escenario; permitiendo no solo el conocimiento de la situación actual, sino también la comparación multitemporal del mismo para la adecuación de la estrategia preventiva y el reconocimiento de las buenas prácticas en la gestión.



12 BIBLIOGRAFÍA

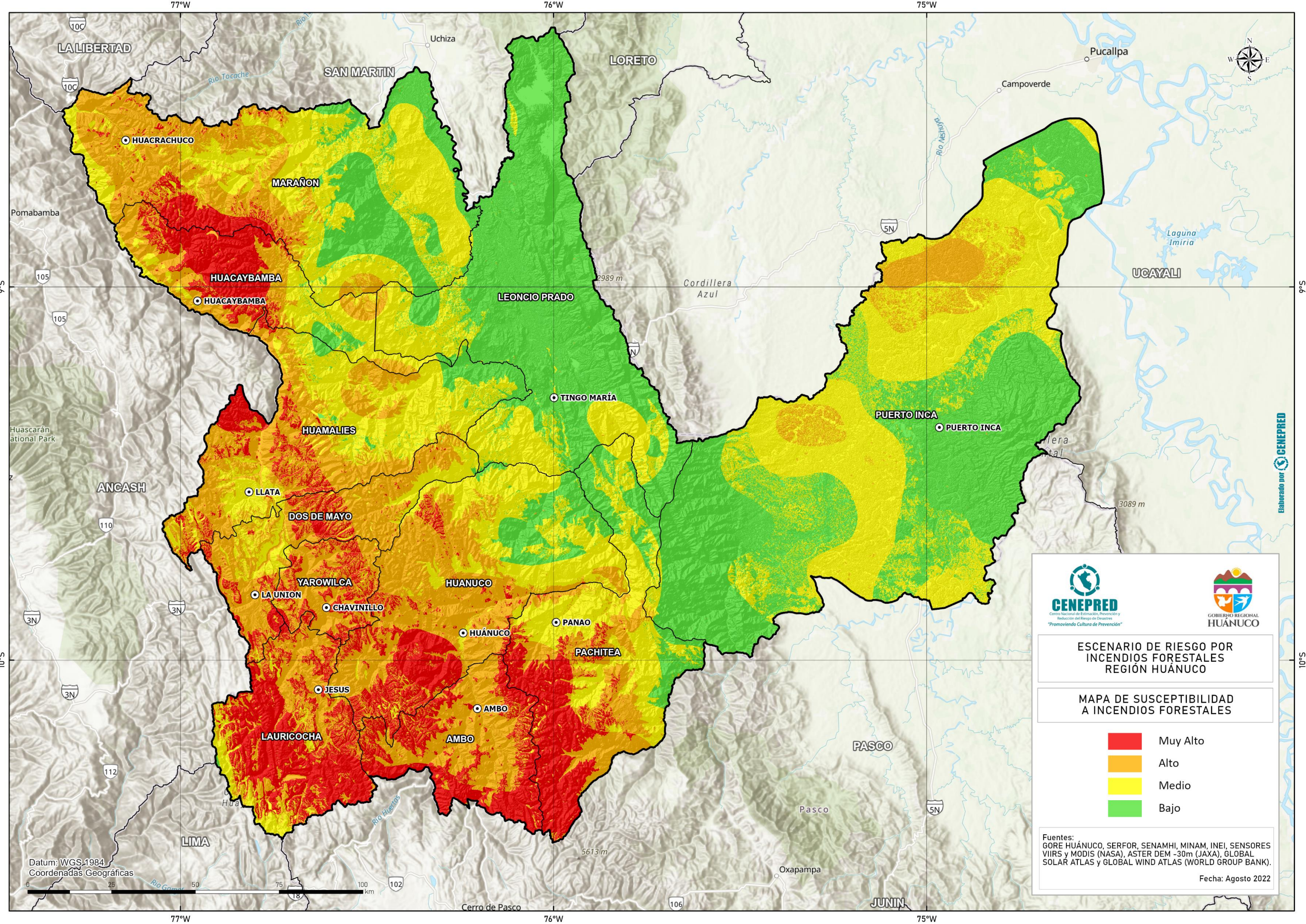
- Centro Nacional de Estimación, Prevención y Reducción del Riesgo de Desastres. (2020). *Escenario de riesgo por incendios forestales*. Lima.
- EDUCARM. (s.f.). *Bloque: Incendios Forestales*. Obtenido de <http://servicios.educarm.es/templates/portal/ficheros/websDinamicas/20/tema1incendios.pdf>
- Gerencia Regional de Recursos Naturales y Gestión Ambiental. (2021). *Estrategia y Plan de Acción Regional de la Diversidad Biológica de la Región Huanuco*. Huanuco: Gobierno Regional de Huanuco.
- Giglio, L., Descloitres, J., Justice, C. O., & Kaufman, Y. J. (2003). An Enhanced Contextual Fire Detection Algorithm for MODIS. *Remote Sensing of Environment*, 87, 273-282.
- Instituto de Hidrología, Meteorología y Estudios Ambientales. (2011). *Protocolo para la realización de mapas de zonificación de riesgos a incendios de la cobertura vegetal - Escala 1:100,000*. Bogotá.
- Instituto Nacional de Estadística e Informática. (01 de Octubre de 2018). *Tomo I - Departamento de Huánuco*. In INEI (Ed.). Obtenido de Resultados definitivos Censos Nacionales 2017: XII de Población, VII de Vivienda y III de Comunidades Indígenas: https://www.inei.gov.pe/media/MenuRecursivo/publicaciones_digitales/Est/Lib1570/10TOMO_01.pdf
- Johnson, E. A., & Miyanishi, K. (2001). *Forest fires - Behavior and ecological effects*. California: Academic Press.
- Manta Nolasco, M. I., & León, H. (2004). Los incendios forestales en el Perú: Grave problema por resolver. *Floresta*, 32, 179-189.
- Manta, N. M. (2017). *Contribución al conocimiento de la prevención de los incendios forestales en la sierra peruana*. Lima: Universidad Nacional Agraria La Molina.
- Ministerio del Ambiente - Gobierno de la República de Panamá. (2015). *METODOLOGIA DE INVESTIGACIÓN DE CAUSAS QUE PROVOCAN LOS INCENDIOS FORESTALES*. Obtenido de METODOLOGIA DE INVESTIGACIÓN DE CAUSAS
- Moscovich, F. A., Ivandic, F., & Besold, L. (2014). *Manual de combate de incendios forestales y manejo de fuego*. Buenos Aires: Instituto Nacional de Tecnología Agropecuaria.
- Ojo Público. (9 de noviembre de 2021). *Los incendios forestales asfixian a las regiones de la Amazonía del Perú*. Obtenido de <https://ojo-publico.com/3145/los-incendios-forestales-asfixian-la-amazonia-del-peru#:~:text=El%202020%20estos%20desastres%20en,%2C%20Puno%2C%20Hu%C3%A1nuco%20y%20Jun%C3%ADn>
- Omi, P. N. (2005). *Forest fire : a reference handbook*. In ABC-CLIO Inc (Ed.), *Contemporary World Issues*. 2005: ABC-CLIO.



- Schroeder, W., Oliva, P., Giglio, I., & Csiszar, I. (2014). The New VIIRS 375 m active fire detection data product: Algorithm description and initial assessment. *Remote Sensing of Environment*, 143, 85-96.
- Servicio Nacional de Áreas Naturales Protegidas por el Estado. (2016). *Manual para el control de incendios forestales - Parque Nacional del Manu*. Lima.
- Servicio Nacional de Áreas Naturales Protegidas por el Estado. (2018). *Estrategia de gestión del riesgo de incendio forestal en el sistema nacional de áreas naturales protegidas por el estado*. Obtenido de https://cdn.www.gob.pe/uploads/document/file/475395/estrategia_incendio-forestal-baja.pdf
- Servicio Nacional Forestal y de Fauna Silvestre. (2017). Acta de acuerdo del grupo de trabajo interinstitucional.
- Servicio Nacional Forestal y de Fauna Silvestre. (2018). *Lineamientos para la identificación de ecosistemas frágiles y su incorporación en la lista sectorial de ecosistemas frágiles*. Obtenido de <https://www.serfor.gob.pe/portal/lineamientos/lineamiento-para-la-identificacion-de-ecosistemas-fragiles-y-su-incorporacion-en-la-lista-nacional-de-ecosistemas-fragiles>
- Servicio Nacional Forestal y de Fauna Silvestre. (2018). *Plan de prevención y reducción de riesgos de incendios forestales (p.55)*. Obtenido de <https://www.serfor.gob.pe/wp-content/uploads/2018/12/Plan-de-prevención-y-reducción-de-riesgos-de-incendios-forestales.pdf>
- Servicio Nacional Forestal y de Fauna Silvestre. (2020). *Protocolo de actuación interinstitucional para gestionar y proteger los ecosistemas incluidos en la lista sectorial de ecosistemas frágiles*. Lima.
- Smith, J. (2001). *The Facts on File Dictionary of Weather and Climate (The Facts on File Science Dictionaries)*. Checkmark Books.
- USAID. (2015). *Reporte de Evaluación del Manejo de Incendios Forestales en el Perú*.
- Villers Ruiz, M. d. (2006). Incendios Forestales. *CIENCIAS*, 61-66.
- Zárate López, L. G. (2004). *Estudio de las características físicas y geométricas de la llama en los incendios forestales*. Cataluña: Universidad Politécnica de Cataluña. Departamento de Ingeniería Química.



13 ANEXO DE MAPAS



CENEPRED
Centro Nacional de Estimación, Prevención y Reducción del Riesgo de Desastres
"Promoviendo Cultura de Prevención"

GOBIERNO REGIONAL
HUÁNUCO

ESCENARIO DE RIESGO POR INCENDIOS FORESTALES REGIÓN HUÁNUCO

MAPA DE SUSCEPTIBILIDAD A INCENDIOS FORESTALES

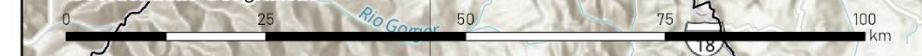
| | |
|--|----------|
| | Muy Alto |
| | Alto |
| | Medio |
| | Bajo |

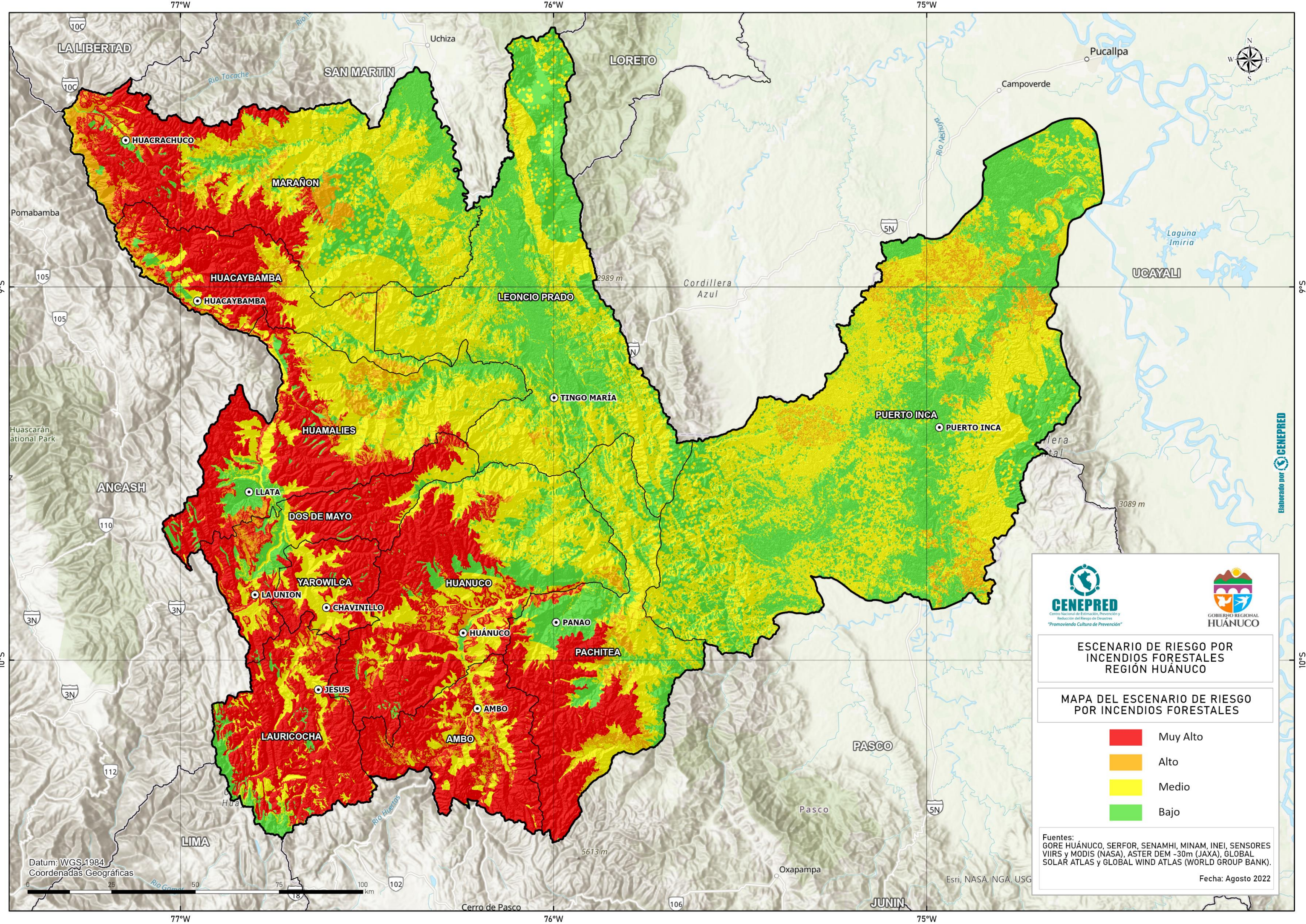
Fuentes: GORE HUÁNUCO, SERFOR, SENAMHI, MINAM, INEI, SENSORES VIIRS y MODIS (NASA), ASTER DEM -30m (JAXA), GLOBAL SOLAR ATLAS y GLOBAL WIND ATLAS (WORLD GROUP BANK).

Fecha: Agosto 2022

Elaborado por CENEPRED

Datum: WGS 1984
Coordenadas Geográficas







CENEPRED
Centro Nacional de Estimación, Prevención y Reducción del Riesgo de Desastres
"Promoviendo Cultura de Prevención"



GOBIERNO REGIONAL HUÁNUCO

ESCENARIO DE RIESGO POR INCENDIOS FORESTALES REGIÓN HUÁNUCO

MAPA DEL ESCENARIO DE RIESGO POR INCENDIOS FORESTALES

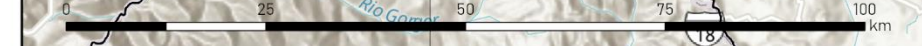
| | |
|--|----------|
| | Muy Alto |
| | Alto |
| | Medio |
| | Bajo |

Fuentes: GORE HUÁNUCO, SERFOR, SENAMHI, MINAM, INEI, SENSORES VIIRS y MODIS (NASA), ASTER DEM -30m (JAXA), GLOBAL SOLAR ATLAS y GLOBAL WIND ATLAS (WORLD GROUP BANK).

Fecha: Agosto 2022

Elaborado por CENEPRED

Datum: WGS 1984
Coordenadas Geográficas





CENEPRED

Centro Nacional de Estimación, Prevención y
Reducción del Riesgo de Desastres

Av. Del Parque Norte 313 - 319. San Isidro Lima - Perú
Central Telefónica: (051) 2013550